

## Originalarbeiten · Full Papers

## Orthoamide. LI [1]

**Push-Pull-Butadiene und Heterocyclen aus CH<sub>2</sub>-aciden Verbindungen und Orthoamiden von Alkincarbonsäuren<sup>1)</sup>****Willi Kantlehner, Markus Vettel, Hansjörg Lehmann, Kai Edelmann und Rüdiger Stieglitz**

Stuttgart, Institut für Organische Chemie und Isotopenforschung der Universität

**Ivo C. Ivanov**

Sofia, Abteilung Organische Chemie, Pharmazeutische Fakultät der Medizinischen Universität

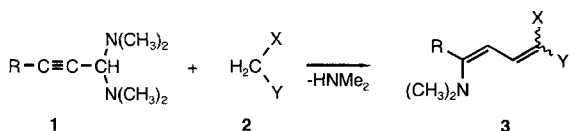
Eingegangen am 7. Januar 1998

*Herrn Professor Dr. Horst Hartmann zum 60. Geburtstag gewidmet.***Orthoamides. LI. Push-Pull-Butadienes and Heterocycles from Alkyne Carboxylic Acid Orthoamides and CH<sub>2</sub>-acidic Compounds**

**Abstract.** The acetylides **4b**, **4f** react with N,N,N',N',N'',N''-hexamethylguanidiniumchloride (**5**) to give the orthoamides **6b**, **6f**, resp. From CH<sub>2</sub>-acidic compounds and the orthoamides **6a**, **c**, **e** can be obtained the push-pull-substituted butadienes **8a**–**8aj**. The 2,3,5-trimethyl-thiadiazolium salt **9** does not condense with **6e**, as other CH<sub>2</sub>-acidic compounds do, instead the vinylous guanidinium salt **10a** is produced. On heating, the ketenaminals **8d**, **aa** cyclize to give the pyridone-carbonitriles **11a**, **b**, resp. From 4-amino-coumarins **12** and the ortho-carboxylic acid amideacetals **13a**, **b** and the ketenaminal **16** resp., the amidines **14a**–**c** and the heterocyclic compounds

**15a**–**c** resp., are formed. The enamines **17a**–**c**, **19a**, **b** react with the orthoamides **6a**–**f** to give the pyridine derivatives **18a**–**l**, **20a**–**h** and **21a**, **b**, resp. Analogously, from 6-amino-uracil **22** and **6a**, **b**, **e**, **f** are formed the pure 7-dimethylamino-pyrido[2,3-d] pyrimidines **23a**, **b** or mixtures of compounds **23c**, **d** and the isomeric 4-dimethylamino-pyrido[2,3-d]pyrimidines **24a**, **b** resp., which can be separated via their salts **25a**, **b**/**26a**, **b**. The heterocyclic compounds **30a**–**d**, **32a**, **b** can be prepared from the pyrazole derivatives **28**, **31** resp. and the orthoamides **6a**–**f**.

Propiolaldehydaminale **1** sind mit den Orthoamiden von Alkincarbonsäuren **6** konstitutionell eng verwandt. Sie reagieren mit CH<sub>2</sub>-aciden Verbindungen **2** zu 1-Amino-buta-1,3-dienen **3**, weil an das durch Kondensation mit der Aminalfunktion primär entstehende "Enin" Dimethylamin angelagert wird [1].

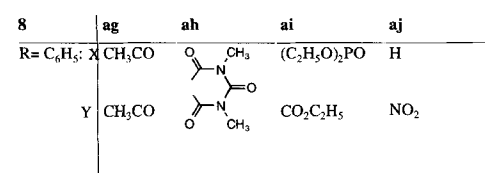
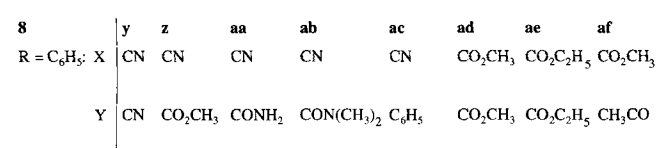
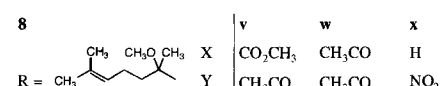
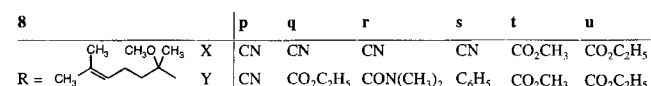
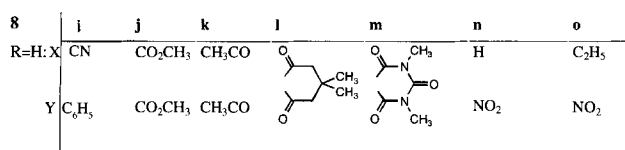
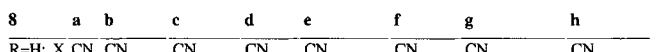
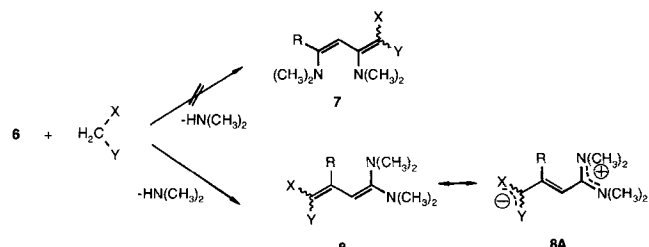
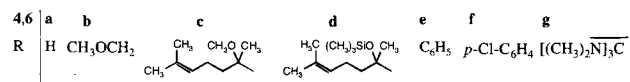
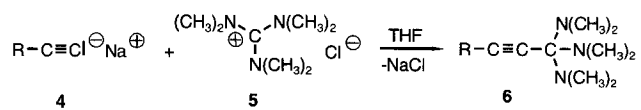


In einer Kurzmitteilung [2] haben wir über die Synthese einiger Orthoamide von Alkincarbonsäuren **6** aus

Acetyliden **4** und dem Guanidiniumsalz **5** berichtet. Dabei wurden auch Kondensationen der Orthoamide **6** mit CH<sub>2</sub>-aciden Verbindungen vorgestellt. Den dabei resultierenden Reaktionsprodukten haben wir in Analogie zu den Kondensationsprodukten **3** die Konstitution von 1,3-Bis(dimethylamino)-buta-1,3-dienen **7** zugekannt. Weiterführende Untersuchungen, über die u.a. im Folgenden berichtet wird, haben aber ergeben, daß es sich bei den seinerzeit erhaltenen Verbindungen um 1,1-Bis(dimethylamino)-buta-1,3-diene **8** – also Keten-N,N-acetale – handelt.

Innerhalb der letzten zwei Jahrzehnte sind push-pull-substituierte Butadiene vom Typ **3** eingehend untersucht

<sup>1)</sup> Teil eines Vortrages zur 3. Fachtagung über Iminumsalze, Stimpfach-Rechenberg, 17.–19. September 1997 (s.a. Heft 4/98).



worden [3a–g], auch entsprechende 1,3-Diaminobutadiene wurden bearbeitet [3d,j]. Push-Pull-Butadiene mit Keten-S,S-acetal-Struktur sind schon längere Zeit in

größerer Zahl bekannt [4], dagegen sind nur wenige analoge Keten-S,N-acetale beschrieben [5, 6]. Für die entsprechenden Keten-N,N-acetale **8** wiederum wurden in den letzten Jahren eine Reihe von Synthesemethoden erarbeitet [7–15], von denen nachstehend einige allgemein anwendbare Verfahren kurz beschrieben sind. Unter C,C-Knüpfung lassen sich aus Acrylamidiniumsalzen [7] oder 1,1-Bis(dimethylamino)-3-ethoxy-butadienen [8] und CH<sub>2</sub>-acidien-Verbindungen, sowie aus Inaminen und 2-Cyan-3-[1,2,3-triazol-1-yl]-acrylnitrilen [9] Verbindungen vom Typ **8** aufbauen. Bei der Einwirkung von sekundären Aminen auf Keten-S,S-acetale [6], -Dialkylamino-1-(1-triazolyl)-buta-1,3-dien-Derivate [10] bzw. 1-Chlor-1-dialkylamino-but-1,3-dien-Derivaten [11–13] entstehen ebenfalls Push-Pull-Butadiene. Die von uns früher beschriebene [2] Methode zur Herstellung von Butadienen **8** ähnelt dem von Böhme [7] eingeführten Verfahren. Um die Anwendungsbreite unseres Verfahrens kennenzulernen, haben wir eine Reihe von CH<sub>2</sub>-acidien Verbindungen mit den Orthoamiden **6a,c,e**, umgesetzt und dabei Ketenaminale **8a–aj** erhalten. Die Verbindungen **8b,j,w,x,y,ad** haben wir bereits früher gewonnen [2], ihnen aber fälschlicherweise eine 1,3-Diamino-butadienstruktur **7** zugeschrieben.

Wie vorher kurz erwähnt, wurden die Butadiene **8a** bzw. **8y** von Viehe [11–13] bzw. Peseke [6] hergestellt. Die Verbindung **8l** entsteht u.a. bei der Umsetzung von 2-Aminomethylen-5,5-dimethyl-cyclohexan-1,3-dion mit *N,N*-Dimethylacetamid-dimethylacetal [14].

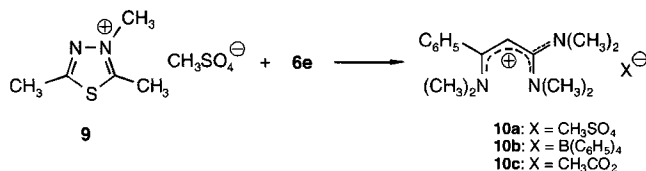
Die Butadiene **8** haben hohen dipolaren Charakter, so daß bei der Strukturbeschreibung in erheblichem Umfang polare Grenzstrukturen, wie z.B. **8A** zu berücksichtigen sind. Eingehende Untersuchungen hierzu wurden an **8a** durchgeführt [13]. Wie bei **8a** und **8l** beobachtet [6, 14], findet man bei der Mehrzahl der Butadiene **8** in den <sup>1</sup>H-NMR-Spektren für beide Dimethylaminogruppen nur ein scharfes Signal. Offenbar herrscht bei Raumtemperatur entlang den C–NMe<sub>2</sub>-Bindungen und der C1–C2-Bindung bzw. C2–C3-Bindung des Diensystems nahezu freie Drehbarkeit. Dagegen wurden im <sup>1</sup>H-NMR-Spektrum von **8y** für die Dimethylaminogruppen zwei Signale (Intensitätsverhältnis 8:2) gefunden, was auf eine Rotationsbehinderung längs der C2–C3-Bindung zurückgeführt wurde [6].

Bei den Verbindungen **8i,p,s,t,v,af**, erschienen für die Dimethylaminogruppen in den <sup>1</sup>H-NMR-Spektren jeweils zwei scharfe Signale. Bei einigen Verbindungen (**8u,q,8ag**) beobachtet man dafür nur ein breites Signal oder 2 breite Singulets (**8ac**) und bei anderen Verbindungen (**8r,8w**) auch zwei breite Multiplets. Erwartungsgemäß hängen die Rotationsbarrieren um die C2–C3-Bindung der Diensysteme der Verbindungen **8** stark von der Art der Substituenten am C3 bzw. C4 der Diensysteme ab.

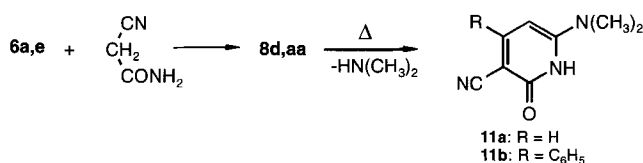
Die Konstitution der Verbindung **8i** wurde durch eine Röntgenstrukturanalyse abgesichert [16]. Daraus ergibt sich, daß die C,C-Bindungsabstände im Dienensystem fast ausgeglichen sind (Abstände: C1–C2 und C3–C4: 1.382 Å und C2–C3: 1.419 Å) und ferner, daß die C=C-Bindungen nicht koplanar angeordnet sind.

Vergleichbare Resultate wurden bei der Röntgenstrukturanalyse von **8a** erhalten [13].

Das Thiadiazolium-methylsulfat **9**, das durch *N,N*-Dialkylformamidacetale an der 2-ständigen Methylgruppe formyliert wird [17], reagiert mit **6e** jedoch nicht im Sinne einer Kondensation, vielmehr erhält man das vinylogen Guanidinium-methylsulfat **10a**, das als Tetraphenylborat **10b** isoliert wurde. Offenbar protoniert **9** das Orthoamid **6e**, das anschließend in **10a** übergeht. Die Reaktion ähnelt der Umsetzung von **6e** mit Essigsäure, bei der das Salz **10c** entsteht [18].



Verbindungen, die sowohl  $\text{NH}_2^-$  als auch  $\text{CH}_2\text{-acid}$  sind, wie z.B. Cyanacetamid, 3-Amino-crotonsäureester reagieren sowohl mit Lactamacetalen und Amidacetalen [19–21] als auch mit Orthoamid-Derivaten der Kohlensäure [22] (nicht nur an der Amino, – sondern auch an der  $\text{CH}_2$ -Gruppe) zu Enaminen, Amidinen bzw. Ketenaminen. Wir untersuchten daher, ob sich die Orthoamide **6a,e** gegenüber Cyanacetamid ebenso verhalten. Bei den Umsetzungen entstehen die Ketenamine **8d,aa**, die beim Erhitzen Dimethylamin abspalten und in die Pyridone **11** übergehen.



Enamine können mit Iminen im Gleichgewicht stehen und daher sowohl als  $\text{CH}_2^-$ - als auch als  $\text{NH}_2^-$ -acid Verbindungen reagieren. Kondensationsprodukte aus solchen Enaminen und Orthoamiden **6** sollten sich wie **8d,aa** in Heterocyclen überführen lassen. Damit wird die Beantwortung der Frage wichtig, wo die Orthoamide **6** primär angreifen. Denn dabei wird die Position der Substituenten bei nachfolgenden Cyclisierungen festgelegt.

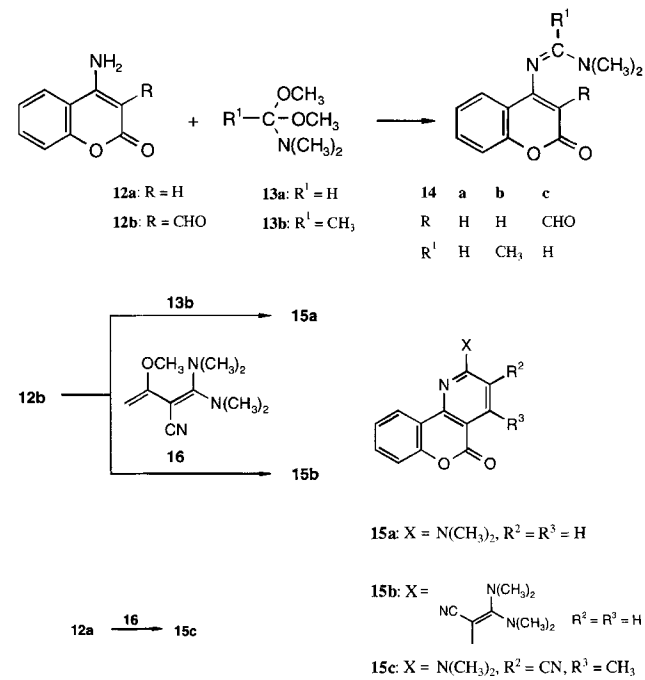
Es sind nur wenige Beispiele über Kondensationen von Enaminen mit Orthocarbonsäureamid-Derivaten beschrieben. So reagiert 3-Amino-crotonsäure-ethylester mit *N,N*-Dimethylacetamid-dimethylacetal unter Kondensation an der Aminogruppe [19]. Primär in gleicher Weise verläuft die analoge Umsetzung von 3-Amino-3-

ethoxy-acrylsäureethylester, bei der ein 4-Pyridonderivat entsteht [20].

Im 4-Amino-cumarin **12a** liegen vergleichbare Strukturelemente vor. Tatsächlich erfolgt auch mit den Amidacetalen **13a,b** einheitlich Kondensation an der Aminogruppe, wobei die Amidine **14a,b** gebildet werden. In gleicher Weise reagiert der Cuminaldehyd **12b** mit **13a** zu **14c**. Dagegen entsteht aus **12b** und **13b** direkt das Chromeno[4,3-*b*]pyridinderivat **15a**. Vergleichbare Kondensationen, die zu 4-Pyridon-Derivaten führen, sind bekannt [19, 20].

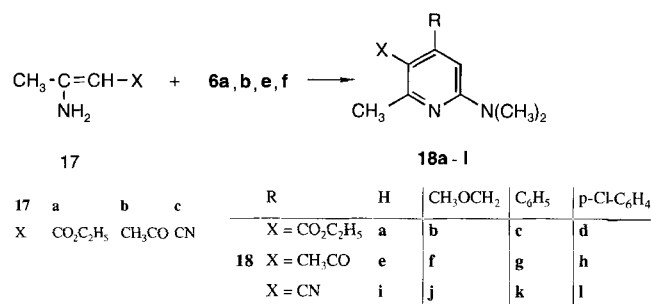
Bereits früher haben wir gezeigt, daß sich das Butadienderivat **16** ähnlich verhält wie das Orthoamid **13b** [22]. Dies wird auch durch die Bildung von **15b** aus dem Cumarin **12b** und **16** bestätigt.

Das Ketenaminal **16** reagiert mit dem Amino-cumarin **12a** zum Pyridinderivat **15c**, was bedeuten könnte, daß der primäre Angriff von **16** am C3 von **12a** erfolgt.

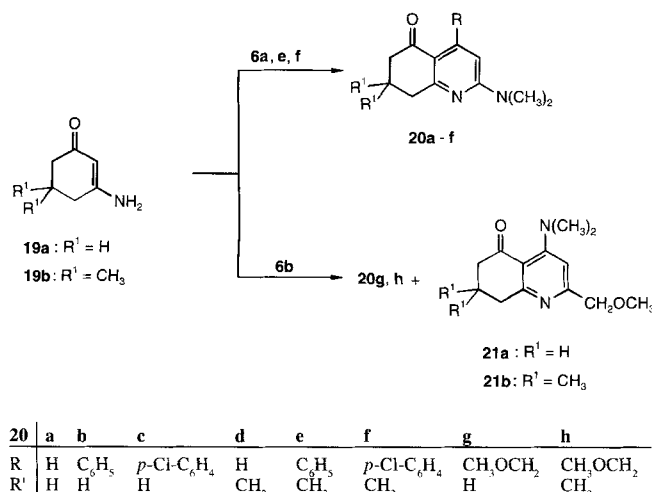


Die Enamine **17a–c**, die sich vom Acetessigsäureethylester, Acetylacetone und Acetessigsäurenitril ableiten, setzen sich mit den Orthoamiden **6a,b,e,f** einheitlich zu den Pyridinen **18a–l** um, d.h. die Orthoamide werden im ersten Schritt der Kondensation an den  $\beta$ -Kohlenstoff des Enamins gebunden.

Pyridine, die ein ähnliches Substitutionsmuster wie die Produkte **18** aufweisen, sind aus  $\beta$ -Dicarbonylverbindungen und Keten-*O,N*-acetale [23] bzw. Keten-*N,N*-acetale [24], sowie durch Thermolyse geeignet substituierter Keten-*O,N*-acetale [25, 26] bzw. Keten-*N,N*-acetale zugänglich [25–29]:



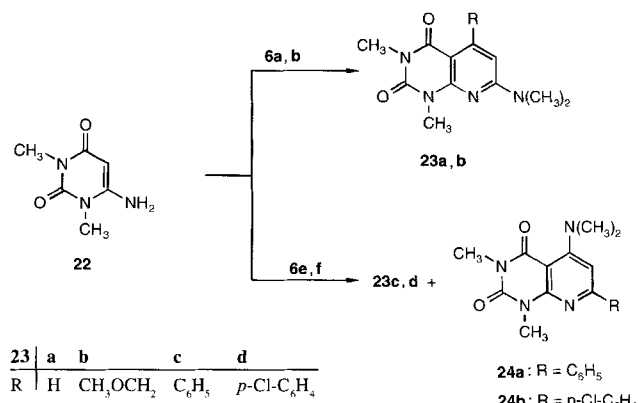
Analog zu den Reaktionen der Enamine 17 verlaufen die Reaktionen der 2-Amino-cyclohex-2-en-1-one (19a, b) mit den Orthoamiden 6a,e,f zu den Tetrahydrochinolin-5-on-Derivaten 20a-f. Dagegen entstehen bei der Einwirkung des Orthoamids 6b auf die Enamine 19 säulenchromatographisch trennbare Gemische aus den Chinolon-Derivaten 20g,h und 21a,b im Stoffmengenverhältnis von ungefähr 4:1.



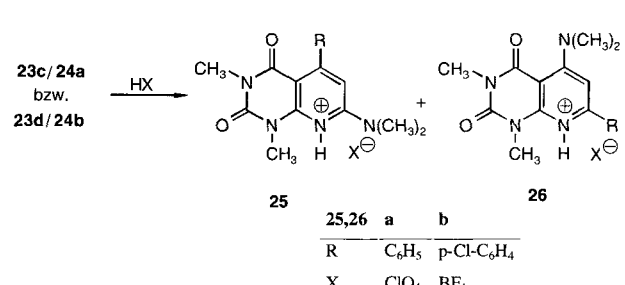
Eine ähnliche Situation findet man beim 6-Aminouracil 22. Mit den Orthoamiden 6a,b scheint der Angriff einheitlich am Kohlenstoff von 22 zu erfolgen, was zu Pyrido-pyrimidinen 23a,b führt. Dagegen entstehen aus 22 und den Orthoamiden 6e,f Gemische der isomeren Pyrido-pyrimidine 23c,d und 24a,b im Stoffmengenverhältnis von ca. 3:1.

Umsetzungen des Uracils mit Orthoamiden bzw. Iminiumsalzen sind beschrieben. So wird 22 wie auch konstitutionsverwandte Enamine [29] vom Vilsmeier-Haack-Komplex in 5-Stellung, d.h. am Kohlenstoff angegriffen [30–34], wogegen mit dem Amidacetal 13a eine Kondensation an der Aminogruppe von 22 erfolgt [21]. Die Umsetzung von 1,1-Bis(dimethylamino)-3-phenyl-2-propin mit 22 wiederum wird durch einen primären Angriff in 5-Stellung eingeleitet [1].

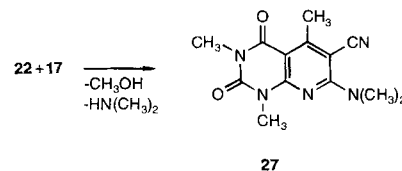
Die isomeren Pyrido[2,3-*d*]pyrimidine 23c/24a und 23d/24b können über die Salzpaare 25a/26a und 25b/26b getrennt werden, die man bei der Einwirkung von Perchlorsäure bzw. Tetrafluoroborsäure auf die Gemische 23/24 erhält. In Gegensatz zu 26a ist 25a in siedendem Acetonitril löslich. Die Trennung der Gemische 23d/24b gelingt nicht in gleicher Weise über die Perchlorate, wohl aber über die entsprechenden Tetrafluoroborate 25b/26b. Aus den so gewonnenen Salzen lassen sich die reinen Heterocyclen 23a,d und 24a,b mit Natriummethanolat freisetzen. Röntgenstrukturanalysen der Uracile 23c und 24a bestätigen die Konstitution der Verbindungen [35]. In den <sup>13</sup>C-NMR-Spektren unterscheiden sich die chemischen Verschiebungen der Kohlenstoffatome der Dimethylaminogruppen von 23c und 24a besonders stark. Dieser Unterschied kann zur Konstitutionszuordnung der übrigen Verbindungen 23 und 24 herangezogen werden. Bei 23c liegt das <sup>13</sup>C-Signal für die “Dimethylaminogruppe” bei ca. 38 ppm, an dieser Stelle erscheinen auch die entsprechenden Signale der Verbindungen 23a,b,d. Dagegen liegen die Resonanzen für die Kohlenstoffatome der Dimethylaminogruppen der Verbindungen 24a,b bei ca. 44 ppm.



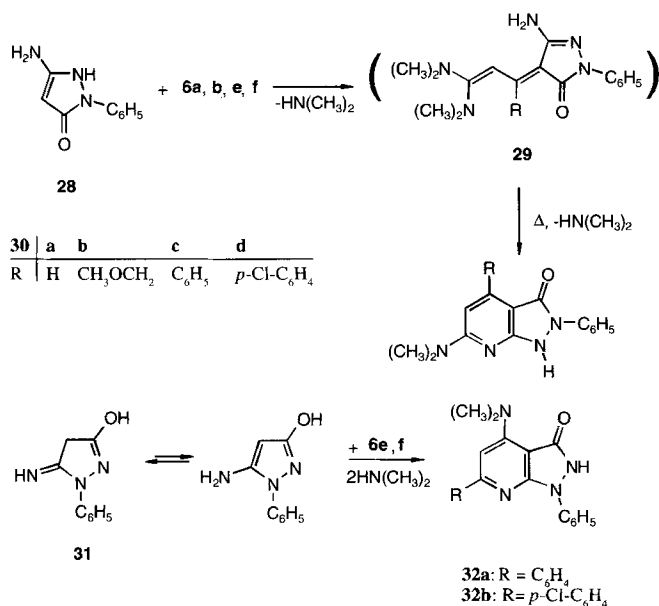
23	a	b	c	d
R	H	CH <sub>3</sub> OCH <sub>2</sub>	C <sub>6</sub> H <sub>5</sub>	<i>p</i> -Cl-C <sub>6</sub> H <sub>4</sub>



Einheitlich verläuft die Umsetzung des Ketenaminals 16 mit 22 unter primärem Angriff am C5 des Uracils 22 zum heterocyclischen Nitril 27.



3-Amino-1-phenyl-pyrazolin-5-on (**28**) reagiert mit den Orthoamiden **6a,b,e,f** zu den orangeroten Ketenaminalen **29**, die allerdings nur in unreiner Form erhalten wurden. Beim einstündigen Erhitzen im Vakuum entstehen daraus die Pyrazolo[3,4-*d*]pyridine **30**. Dagegen wird das zu **28** isomere 1-Phenyl-3-hydroxy-pyrazolin-5-imid (**31**) durch die Orthoamide **6e,f** am Stickstoff angegriffen, so daß als Kondensationsprodukte die Pyrazolo[3,4-*b*]pyrimidine **32** entstehen.



## Beschreibung der Versuche

Die Schmelzpunkte sind nicht korrigiert und wurden mit einem Gerät der Firma Büchi "Ölbad 510" bestimmt. Die IR-Spektren wurden mit einem Perkin-Elmer 457 Spektrometer aufgenommen. Zur Aufnahme der UV/VIS-Spektren diente das Spektralphotometer ACTA M Serie der Fa. Beckmann. Die <sup>1</sup>H-NMR-Spektren wurden mit einem Varian T 60 bzw. einem Bruker AC 250-Spektrometer angefertigt. Die <sup>13</sup>C-NMR-Spektren wurden bei 62,9 MHz ebenfalls mit dem AC250-Gerät der Firma Bruker aufgenommen. Zur Anfertigung der Massenspektren diente das Spektrometer MAT 711 der Firma Varian mit dem Datensystem DP 10 der Firma AMD.

### 1,1,1-Tris(dimethylamino)-4-methoxy-but-2-in (**6b**)

Zu einer Suspension von 4,40 g (110 mmol) 60%igem Natriumhydrid in Weißöl und 17,98 g (100 mmol) N,N,N',N'',N''-Hexamethyl-guanidiniumchlorid (**5**) in 80 ml trockenem Tetrahydrofuran werden 7,00 g (100 mmol) 3-Methoxy-prop-1-in zugetropft und 6 d bei Raumtemperatur gerührt. Der Niederschlag wird nach Feuchtigkeitsausschluß abfiltriert und das Filtrat im Rotationsverdampfer vom Lösungsmittel befreit. Der Rückstand wird über eine 30 cm lange Vigreux-Kolonne de-

stilliert. Man erhält 15,10 g (71%) **6b**, farblose Flüssigkeit mit *Kp*. 67 °C/0,001 Torr.

C<sub>11</sub>H<sub>23</sub>N<sub>3</sub>O Ber.: C 61,93 H 10,87 N 19,70 (213,32) Gef.: C 61,98 H 11,05 N 19,73.

### 1-p-Chlorphenyl-3,3,3-tris(dimethylamino)-prop-1-in (**6f**)

Zu einer Suspension von 4,40 g (110 mmol) 60%igem Natriumhydrid in Weißöl und 17,98 g (100 mmol) **5** in 120 ml absol. Tetrahydrofuran gibt man 13,65 g (100 mmol) *p*-Chlorphenylacetylen und erhitzt 18 h unter Rückfluß. Der Niederschlag wird unter Feuchtigkeitsausschluß abfiltriert und das Filtrat vom Lösungsmittel befreit. Der Rückstand wird im Ölumpenvakuum über eine 30 cm lange Vigreux-Kolonne fraktionierend destilliert. Ausb. 26,59 g (95%) farblose Flüssigkeit mit *Kp*. 154 °C/0,001 Torr, die beim Erkalten erstarrt (Schmelzbereich 50–60 °C). – <sup>1</sup>H-NMR (60MHz) (TMS): δ/ppm 2,60 [s, 18H, N(CH<sub>3</sub>)<sub>2</sub>], 6,85–7,15 [m, 4H, ArH]. C<sub>15</sub>H<sub>22</sub>N<sub>3</sub>Cl Ber.: C 64,39 H 7,92 N 15,02 Cl 12,67 (279,81) Gef.: C 64,28 H 8,04 N 14,73 Cl 12,66.

## Push-Pull-Butadiene **8a–o** (Allgemeine Arbeitsvorschrift)

Unter Kühlung mit Eis tropft man zu einer Lösung der CH<sub>2</sub>-aciden Verbindung in 30 ml absol. Tetrahydrofuran die äquimolare Menge des Orthoamids **6a** [2] in 20 ml abs. Tetrahydrofuran langsam zu.

*Variante A:* Nach mehrstündigem Rühren bei Raumtemperatur wird das Produkt abgesaugt und umkristallisiert.

*Variante B:* Nach mehrstündigem Rühren bei Raumtemperatur wird im Rotationsverdampfer das Lösungsmittel entfernt. Zurückbleibende Feststoffe werden umkristallisiert, zähe Öle werden mit Ether angerieben und nach dem Erstarren umkristallisiert. Mittels Säulenchromatographie über Aluminiumoxid 90 (Aktivität II–III) und Ethylacetat als Laufmittel können nicht erstarrende Öle gereinigt werden. Nach dem Entfernen des Laufmittels bleiben Feststoffe zurück, die umkristallisiert werden.

*Variante C:* Nach mehrstündigem Erhitzen unter Rückfluß wird das Lösungsmittel im Rotationsverdampfer entfernt und der zurückbleibende Feststoff umkristallisiert.

### 2-Cyan-5,5-bis(dimethylamino)-penta-2,4-diennitril (**8a**)

Aus 3,39 g (20 mmol) **6a** und 1,32 g (20 mmol) Malodinitril erhält man nach Variante B (12 h Reaktionszeit) einen orangefarbenen Feststoff. Ausbeute: 2,5 g (66%), orange-rote Kristalle mit *F*. 185–186 °C (THF) (Lit. [13] 181 °C). – UV (CH<sub>3</sub>CN): λ<sub>max</sub>/nm (lg ε) = 383 (4,705), 280 (3,707). Die Herstellung von **8b** ist in [2] beschrieben, die Substanz erscheint in [2] als Verbindung **12a**.

### 2-Cyan-5,5-bis(dimethylamino)-penta-2,4-diensäureethylester (**8c**)

3,39 g (20 mmol) **6a** und 2,26 g (20 mmol) Cyanessigsäureethylester werden 2 h nach Variante C umgesetzt. Ausb. 3,9 g (82%), gelbe Kristalle mit *F*. 100–101 °C (Cyclohexan/Ethylacetat 1:1). – <sup>1</sup>H-NMR (CDCl<sub>3</sub>/TMS): δ/ppm = 1,30 [t, *J* = 7Hz, 3H, CO<sub>2</sub>CH<sub>2</sub>–CH<sub>3</sub>], 2,97 [s, 12H, N(CH<sub>3</sub>)<sub>2</sub>], 4,20 [q, *J* = 7Hz, 2H, CO<sub>2</sub>CH<sub>2</sub>–CH<sub>3</sub>], 4,93 [d, *J* = 14Hz, 1H, -CH=C=N], 7,85 [d, *J* = 14Hz, 1H, =CH–]. – UV (CH<sub>3</sub>CN): λ<sub>max</sub>/nm (lg ε) = 390 (4,732), 282 (3,699).

C<sub>12</sub>H<sub>19</sub>N<sub>3</sub>O<sub>2</sub> Ber.: C 60,74 H 8,07 N 17,70 (237,28) Gef.: C 60,82 H 8,15 N 17,82.

**2-Cyan-5,5-bis(dimethylamino)-penta-2,4-dienamid (8d)**

Aus 1,68 g (20 mmol) Cyanacetamid in 20 ml THF und 3,39 g (20 mmol) **6a** in 10 ml THF erhält man nach sechsstündiger Reaktion (Variante C) 2,8 g (67%) **8d**, orangefarbene Kristalle mit Umwandlungspunkt *F.* 193 °C (Essigester/Acetonitril 2:1). – <sup>1</sup>H-NMR (CDCl<sub>3</sub>/TMS):  $\delta$ /ppm = 3,0 [s, 12H, N(CH<sub>3</sub>)<sub>2</sub>], 4,85 [d, *J* = 14Hz, 1H, -CH=C–N], 7,86 [d, *J* = 14Hz, 1H, =CH-], 5,50 [breites s, 2H, NH<sub>2</sub>]. – IR (KBr):  $\nu$ /cm<sup>-1</sup> = 3340 und 3410 (-NH<sub>2</sub>), 2190 (CN) 1660 und 1640 (CONH<sub>2</sub>). – UV (CH<sub>3</sub>CN):  $\lambda_{\text{max}}/\text{nm}$  (lg  $\epsilon$ ) = 394 (4,732), 278 (3,681).

C<sub>10</sub>H<sub>16</sub>N<sub>4</sub>O Ber.: C 57,68 H 7,74 N 26,89  
(208,24) Gef.: C 57,71 H 7,77 N 23,24.

**2-Cyan-5,5-bis(dimethylamino)-N,N-dimethyl-penta-2,4-dienamid (8e)**

Die Umsetzung vom 5,08 g (30 mmol) **6a** und 3,36 g (30 mmol) *N,N*-Dimethylcyanacetamid (Variante A, 4 h) liefert 5,8 g (82%) **8e** mit *F.* 138–139 °C (Essigester). – <sup>1</sup>H-NMR (CDCl<sub>3</sub>/TMS):  $\delta$ /ppm = 2,93 [s, 12H, N(CH<sub>3</sub>)<sub>2</sub>], 3,10 [s, 6H, N(CH<sub>3</sub>)<sub>2</sub>], 4,90 [d, *J* = 13Hz, 1H, -CH=C–N], 7,86 [d, *J* = 13Hz, 1H, =CH-]. – UV (CH<sub>3</sub>CN):  $\lambda_{\text{max}}/\text{nm}$  (lg  $\epsilon$ ) = 394 (4,737), 272 (3,644).

C<sub>12</sub>H<sub>20</sub>N<sub>4</sub>O Ber.: C 61,00 H 8,53 N 23,70  
(263,3) Gef.: C 60,87 H 8,45 N 27,57.

**2-Benzoyl-5,5-bis(dimethylamino)-penta-2,4-dienitril (8f)**

Aus 4,23 g (25 mmol) **6a** und 3,63 g (25 mmol) Benzoylaceptonitril erhält man nach [Variante B (4 h Reaktionszeit)], Säulenchromatographie an Al<sub>2</sub>O<sub>3</sub>, Verreiben des Abdampfrückstandes mit Ether) 6,08 g (89%) **8f**, gelbe Kristalle mit *F.* 133–134 °C. – <sup>1</sup>H-NMR (CDCl<sub>3</sub>/TMS):  $\delta$ /ppm = 3,0 [s, 12H, N(CH<sub>3</sub>)<sub>2</sub>], 5,23 [d, *J* = 13Hz, 1H, -CH=C–N], 8,03 [d, *J* = 13Hz, 1H, =CH-], 7,25–7,9 [m, 5H, ArH]. – UV (CH<sub>3</sub>CN):  $\lambda_{\text{max}}/\text{nm}$  (lg  $\epsilon$ ) = 406 (4,613), 288 (3,875).

C<sub>16</sub>H<sub>19</sub>N<sub>3</sub>O Ber.: C 71,35 H 7,11 N 15,59  
(269,33) Gef.: C 71,51 H 7,23 N 15,80.

**2-(*p*-Chlorbenzoyl)-5,5-bis(dimethylamino)-penta-2,4-dienitril (8g)**

Nach Variante B (12 h) erhält man aus 4,23 g (25 mmol) **6a** und 4,49 g (25 mmol) *p*-Chlorbenzoylacetonitril 5,6 g (74%) **8g**, orange-gelbe Kristalle mit *F.* 155–156 °C (Essigester/Acetonitril 4:1). – <sup>1</sup>H-NMR (CDCl<sub>3</sub>/TMS):  $\delta$ /ppm = 3,03 [s, 12H, N(CH<sub>3</sub>)<sub>2</sub>], 5,18 [d, *J* = 14Hz, 1H, -CH=C–N], 7,98 [d, *J* = 14Hz, 1H, =CH-], 7,2–7,85 [m, 4H, ArH]. – UV (CH<sub>3</sub>CN):  $\lambda_{\text{max}}/\text{nm}$  (lg  $\epsilon$ ) = 408 (4,648), 296 (3,903).

C<sub>16</sub>H<sub>18</sub>ClN<sub>3</sub>O Ber.: C 63,26 H 5,97 N 13,83  
(303,77) Gef.: C 63,51 H 6,01 N 14,05.

**5,5-Bis(dimethylamino)-2-(*p*-nitrophenyl)-penta-2,4-dienitril (8h)**

Die Umsetzung von 4,23 g (25 mmol) **6a** und 4,05 (25 mmol) *p*-Nitrobenzylcyanid (Variante A, 12 h) ergibt 5,9 g (82%) **8h**, tiefrot-violett glänzende Kristalle mit *F.* 161–162 °C (Essigester). – <sup>1</sup>H-NMR (CDCl<sub>3</sub>/TMS):  $\delta$ /ppm = 3,0 [s, 12H, N(CH<sub>3</sub>)<sub>2</sub>], 5,0 [d, *J* = 13Hz, 1H, -CH=C–N], 7,25–8,35 [m, 5H, ArH und =CH-]. – UV (CH<sub>3</sub>CN):  $\lambda_{\text{max}}/\text{nm}$  (lg  $\epsilon$ ) = 514 (4,658), 375 (3,978), 332 (3,778).

C<sub>15</sub>H<sub>18</sub>N<sub>4</sub>O<sub>2</sub> Ber.: C 62,93 H 6,33 N 13,56  
(286,31) Gef.: C 63,08 H 6,43 N 13,70.

**5,5-Bis(dimethylamino)-2-phenyl-penta-2,4-dienitril (8i)**

Nach Variante C (15 h) erhält man aus 4,23 g (25 mmol) **6a** und 2,93 g (25 mmol) Benzylcyanid 3,9 g (73%) **8i**, orangegelbe Kristalle mit *F.* 104–105 °C (Diethylether). – <sup>1</sup>H-NMR (CDCl<sub>3</sub>/TMS):  $\delta$ /ppm = 2,80; 2,95 [je s, 12H, N(CH<sub>3</sub>)<sub>2</sub>], 4,93 [d, *J* = 12Hz, 1H, -CH=C–N], 7,06–7,60 [m, 6H, ArH und =CH-]. – UV (CH<sub>3</sub>CN):  $\lambda_{\text{max}}/\text{nm}$  (lg  $\epsilon$ ) = 412 nm (4,628), 278 (4,000).

C<sub>15</sub>H<sub>19</sub>N<sub>3</sub> Ber.: C 74,66 H 7,94 N 17,40  
(241,32) Gef.: C 74,66 H 8,00 N 17,68.

Die Herstellung von **8j** ist in [2] beschrieben, die Substanz erscheint in [2] als Verbindung **12b**.

**2-Acetyl-5,5-bis(dimethylamino)-penta-2,4-diensäuremethylester (8k)**

Aus 3,39 g (20 mmol) **6a** und 2,32 g (20 mmol) Acetessigsäuremethylester gewinnt man (Variante B, 3 h) 4,2 g (88%) **8k**, gelbe Kristalle mit *F.* 119–120 °C (Petrolether/Essigester 1:3) – <sup>1</sup>H-NMR (CDCl<sub>3</sub>/TMS):  $\delta$ /ppm = 2,40 [s, 3H, COCH<sub>3</sub>], 2,97 [s, 12H, N(CH<sub>3</sub>)<sub>2</sub>], 3,70 [s, 3H, CO<sub>2</sub>CH<sub>3</sub>], 5,6–6,3 [breites s, 1H, -CH=C–N], 7,8 [d, *J* = 14Hz, 1H, =CH-]. – UV (CH<sub>3</sub>CN):  $\lambda_{\text{max}}/\text{nm}$  (lg  $\epsilon$ ) = 401 (4,668), 270 (4,090).

C<sub>12</sub>H<sub>20</sub>N<sub>2</sub>O<sub>3</sub> Ber.: C 59,98 H 8,39 N 11,65  
(240,30) Gef.: C 59,85 H 8,47 N 11,71.

**2-[3,3-Bis(dimethylamino)-prop-2-en-1-yliden]-5,5-dimethyl-cyclohexan-1,3-dion (8l)**

Die Umsetzung von 3,39 g (20 mmol) **6a** mit 2,80 g (20 mmol) Dimedon (Variante A, 1 h) liefert 3,9 g (74%) **8l**, gelbe Kristalle mit *F.* 185 °C (Lit. [14] *F.* 163 °C). – <sup>1</sup>H-NMR (CDCl<sub>3</sub>/TMS):  $\delta$ /ppm = 1,05 [s, 6H, -CH<sub>3</sub>], 2,33 [s, 4H, -CH<sub>2</sub>-], 3,06 [s, 12H, N(CH<sub>3</sub>)<sub>2</sub>], 6,80 [d, *J* = 13Hz, 1H, -CH=C–N], 7,83 [d, *J* = 13 Hz, 1H, =CH-]. – UV (CH<sub>3</sub>CN):  $\lambda_{\text{max}}/\text{nm}$  (lg  $\epsilon$ ) = 408 (4,613), 280 (4,217).

C<sub>15</sub>H<sub>24</sub>N<sub>2</sub>O<sub>2</sub> Ber.: C 68,15 H 9,15 N 10,59  
(264,36) Gef.: C 67,98 H 9,16 N 10,46.

**5-[3,3-Bis(dimethylamino)-prop-2-en-1-yliden]-1,3-dimethyl-1H,3H,5H-pyrimidin-2,4,6-trion (8m)**

Nach Variante A (1 h) erhält man aus 4,23 g (25 mmol) **6a** und 3,20 g (25 mmol) *N,N'*-Dimethylbarbitursäure 5,4 g (77%) **8m**, gelb-orange Kristalle mit *F.* 239 °C (Essigester/Acetonitril 3:1). – <sup>1</sup>H-NMR (CDCl<sub>3</sub>/TMS):  $\delta$ /ppm = 3,10 [s, 12H, N(CH<sub>3</sub>)<sub>2</sub>], 3,33 [s, 6H, -N–CH<sub>3</sub>], 6,63 [d, *J* = 14Hz, 1H, -CH=C–N], 7,92 [d, *J* = 14 Hz, 1H, =CH-]. – UV (CH<sub>3</sub>CN):  $\lambda_{\text{max}}/\text{nm}$  (lg  $\epsilon$ ) = 396 (4,686), 280 (3,699).

C<sub>13</sub>H<sub>20</sub>N<sub>4</sub>O<sub>3</sub> Ber.: C 55,71 H 7,19 N 19,98  
(280,3) Gef.: C 55,73 H 7,17 N 20,17.

**4,4-Bis(dimethylamino)-1-nitro-but-1,3-dien (8n)**

Aus 4,23 g (25 mmol) **6a** und 1,53 g (25 mmol) Nitromethan erhält man (Variante A, 4 h) 3,55 g (77%) **8n**, tiefrot-glänzende Kristalle mit *F.* 133–134 °C. – <sup>1</sup>H-NMR (CDCl<sub>3</sub>/TMS):  $\delta$ /ppm = 3,0 [s, 12H, N(CH<sub>3</sub>)<sub>2</sub>], 4,72 [d, *J* = 13,8Hz, 1H, -CH=C–N], 6,90 [d, *J* = 11,4Hz, 1H, =CH–NO<sub>2</sub>], 7,96 – 8,04 [m, 1H, =CH-]. – UV (CH<sub>3</sub>CN):  $\lambda_{\text{max}}/\text{nm}$  (lg  $\epsilon$ ) = 458 nm (4,667), 270 (3,778).

C<sub>8</sub>H<sub>15</sub>N<sub>3</sub>O<sub>2</sub> Ber.: C 51,88 H 8,16 N 22,68  
(185,21) Gef.: C 51,80 H 8,22 N 22,84.

**1,1-Bis(dimethylamino)-4-nitro-hexa-1,3-dien (8o)**

5,0 g (29,5 mmol) **6a** und 2,63 g (29,5 mmol) 1-Nitropropan

liefern (Variante C, 3 h) 4,8 g (78%) **8o**, rote Kristalle mit *F.* 105–107°C (Essigester). – <sup>1</sup>H-NMR (CDCl<sub>3</sub>/TMS): δ/ppm= 1,10 [t, *J*=7Hz, 3H, CH<sub>2</sub>–CH<sub>3</sub>], 2,63 [q, *J*=7Hz, 2H, -CH<sub>2</sub>–CH<sub>3</sub>], 3,0 [s, 12H, N(CH<sub>3</sub>)<sub>2</sub>], 4,55 [d, *J*=14Hz, 1H, -CH=C–N], 8,2 [d, *J*=14Hz, 1H, =CH-]. – UV (Ethanol): λ<sub>max</sub>/nm (lg ε)= 464 (4,792), 312 (3,903), 262 (4,146).  
C<sub>10</sub>H<sub>19</sub>N<sub>3</sub>O<sub>2</sub> Ber.: C 56,32 H 8,98 N 19,69  
(213,26) Gef.: C 55,98 H 9,08 N 19,75.

#### Push-Pull-Butadiene **8p–x** (Allgemeine Arbeitsvorschrift)

Zu 9,3 g (30 mmol) des Orthoamids **6c** in 30 ml absol. THF tropft man 30 mmol der CH<sub>2</sub>-aciden Komponente in 20 ml trockenem THF langsam zu und röhrt bei Raumtemperatur. Das Lösungsmittel wird im Vakuum entfernt. Die zurückbleibenden roten Öle werden im Ölumpenvakuum über eine 30 cm lange Vigreux-Kolonne fraktionierend destilliert. Feste Produkte werden durch Umkristallisation gereinigt.

#### 3-[2,2-Bis(dimethylamino)vinyl]-2-cyan-4,8-dimethyl-4-methoxy-nona-2,7-diennitril (**8p**)

2,0 g (30 mmol) Malodinitril werden mit **6c** 24 h umgesetzt. Ausb. 5,85 g (59%) **8p**, rotes viskoses Öl mit *Kp.* 223 °C/0,01 Torr. – UV (Acetonitril): λ<sub>max</sub>/nm (lg ε)= 407 (3,99), 310 (3,66).

C<sub>19</sub>H<sub>30</sub>N<sub>4</sub>O Ber.: C 69,05 H 9,15 N 16,95  
(330,48) Gef.: C 69,15 H 9,07 N 16,73.

#### 3-[2,2-Bis(dimethylamino)vinyl]-2-cyan-4,8-dimethyl-4-methoxy-nona-2,7-diensäureethylester (**8q**)

Aus **6c** und 3,4 g (30 mmol) Cyanessigsäureethylester (Reaktionszeit 16 h) erhält man 6,9 g (61%) **8q**, hochviskoses Öl mit *Kp.* 225 °C/0,01 Torr. – UV (Acetonitril): λ<sub>max</sub>/nm (lg ε)= 426 (3,66), 230 (4,15).

C<sub>21</sub>H<sub>35</sub>N<sub>3</sub>O<sub>3</sub> Ber.: C 66,81 H 9,34 N 11,13  
(377,53) Gef.: C 66,72 H 9,30 N 10,85.

#### 3-[2,2-Bis(dimethylamino)vinyl]-2-cyan-N,N-4,8-tetramethyl-4-methoxy-nona-2,7-diensäureamid (**8r**)

Die Umsetzung von 4,48 g (40 mmol) Cyanessigsäuredimethylamid mit 12,4 g (40 mmol) **6c** (16 h) liefert 11,5 g (76%) **8r**, rotes viskoses Öl mit *Kp.* 205 °C/0,005 Torr. – UV (Acetonitril): λ<sub>max</sub>/nm (lg ε)= 340 (3,66), 260 (4,10).

C<sub>21</sub>H<sub>36</sub>N<sub>4</sub>O<sub>2</sub> Ber.: C 66,99 H 9,64 N 14,88  
(376,55) Gef.: C 66,78 H 9,79 N 14,88.

#### 3-[2,2-Bis(dimethylamino)vinyl]-4,8-dimethyl-4-methoxy-2-phenyl-2,7-nonadiennitril (**8s**)

3,51 g (30 mmol) Benzylcyanid und **6c** liefern nach 16 h 8,2 g (72%) **8s**, orangerotes zähes Öl mit *Kp.* 187 °C/0,001 Torr. – UV (Acetonitril): λ<sub>max</sub>/nm (lg ε)= 430 (3,87), 285 (Schulter; 3,84), 262 (3,99).

C<sub>24</sub>H<sub>35</sub>N<sub>3</sub>O Ber.: C 75,55 H 9,25 N 11,01  
(381,54) Gef.: C 75,80 H 9,33 N 10,90.

#### 3-[2,2-Bis(dimethylamino)vinyl]-4,8-dimethyl-4-methoxy-2-methoxycarbonyl-nona-2,7-diensäuremethylester (**8t**)

Nach 16 h erhält man aus 3,96 g (30 mmol) Malonsäuredimethylester und **6c** 8,4 g (71%) **8t**, rotes, zähes Öl mit *Kp.* 187 °C/0,01 Torr. – UV (Acetonitril): λ<sub>max</sub> (lg ε)= 440 nm (3,81), 255 (4,05).

C<sub>21</sub>H<sub>36</sub>N<sub>2</sub>O<sub>5</sub> Ber.: C 63,61 H 9,15 N 7,06  
(396,53) Gef.: C 63,58 H 9,47 N 7,05.

#### 3-[2,2-Bis(dimethylamino)vinyl]-4,8-dimethyl-2-ethoxycarbonyl-4-methoxy-nona-2,7-diensäureethylester (**8u**)

Aus 4,81 g (30 mmol) Malonsäurediethylester und **6c** lassen sich nach 16 h 11,35 g (89%) **8u**, rotes zähes Öl mit *Kp.* 165 °C/0,005 Torr gewinnen.

C<sub>23</sub>H<sub>40</sub>N<sub>2</sub>O<sub>5</sub> Ber.: C 65,07 H 9,50 N 6,59  
(424,57) Gef.: C 65,12 H 9,67 N 6,51.

#### 2-Acetyl-3-[2,2-bis(dimethylamino)vinyl]-4,8-dimethyl-4-methoxy-nona-2,7-diensäuremethylester (**8v**)

3,48 g (30 mmol) Acetessigsäuremethylester werden mit **6c** 16 h umgesetzt. Ausb. 8,6 g (75%) **8v**, rotes zähes Öl mit *Kp.* 176 °C/0,005 Torr. – UV (Acetonitril): λ<sub>max</sub> (lg ε)= 310 nm (3,98).

C<sub>21</sub>H<sub>36</sub>N<sub>2</sub>O<sub>4</sub> Ber.: C 66,28 H 9,54 N 7,36  
(380,53) Gef.: C 65,91 H 9,60 N 7,19.

#### 3-Acetyl-4-[2,2-bis(dimethylamino)vinyl]-5-methoxy-5,9-dimethyl-deca-3,8-dien-2-on (**8w**)

Die Herstellung von **8w** ist auch in [2] beschrieben, die Substanz erscheint in [2] als Verbindung **13a**.

#### 1,1-Bis(dimethylamino)-4,8-dimethyl-4-methoxy-3-nitromethylen-nona-1,7-dien (**8x**)

Die Herstellung von **8x** ist auch in [2] beschrieben, die Substanz erscheint in [2] als Verbindung **13b**.

#### Push-Pull-substituierte Butadiene **8y – 8aj** (Allgemeine Arbeitsvorschrift; vgl. Tabelle 3)

Zu einer Lösung von **6e** in 30 ml absol. THF tropft man bei Eiskühlung eine Lösung der CH<sub>2</sub>-aciden Verbindung in 20 ml absol. THF.

*Variante A:* Der Ansatz wird mehrere Stunden gerührt.

*Variante B:* Der Ansatz wird mehrere Stunden bei 70 °C gerührt. – Feststoffe werden abfiltriert, mit Ether gewaschen und umkristallisiert. Flüssige Produkte werden im Ölumpenvakuum über eine 15 cm lange Vigreux Kolonne fraktionierend destilliert.

#### 2-Cyan-5,5-bis(dimethylamino)-3-phenyl-penta-2,4-diennitril (**8y**)

Die Herstellung von **8y** ist auch in [2] beschrieben, die Substanz erscheint in [2] als Verbindung **12c**, die phys. Daten stimmen mit den in Lit. [6] angegebenen überein.

#### 2-Cyan-5,5-bis(dimethylamino)-3-phenyl-penta-2,4-diensäuremethylester (**8z**)

7,4 g (30 mmol) **6e** und 3,0 g (30 mmol) Cyanessigsäuremethylester liefern (Variante B, 1 h) 7,8 g (87%) **8z**, gelbe Kristalle mit *F.* 212–214°C (Essigester/Acetonitril 1:1). – <sup>1</sup>H-NMR (CDCl<sub>3</sub>/TMS): δ/ppm= 2,63 und 3,06 [je breites s, 12H, N(CH<sub>3</sub>)<sub>2</sub>], 3,80 [(s (breit), 3H, OCH<sub>3</sub>], 6,25 [s (breit), 1H, =CH-], 7,40 [m, 5H, ArH]. – UV (Acetonitril): λ<sub>max</sub>/nm (lg ε)= 410 (4,481), 260 (4,057).

C<sub>17</sub>H<sub>21</sub>N<sub>3</sub>O<sub>2</sub> Ber.: C 68,20 H 7,07 N 14,04  
(299,4) Gef.: C 68,22 H 7,10 N 14,10.

#### 2-Cyan-5,5-bis(dimethylamino)-3-phenyl-penta-2,4-dienamid (**8aa**)

Zu 1,68 g (20 mmol) Cyanacetamid in 30 ml absol. Diethyl-

ether tropft man bei -10 °C 4,9 g (20 mmol) **6e** in 10 ml Diethylether. Nach 3 h wird das ausgefallene Produkt abgesaugt, in DMF gelöst und mit Ether gefällt. Ausb. 5,12 g (90%) **8aa**, gelbe Kristalle mit *F.* 160 °C (Zers.). – <sup>1</sup>H-NMR (D<sub>6</sub>-DMSO/TMS):  $\delta$ /ppm = 2,63 [s, 12H, N(CH<sub>3</sub>)<sub>2</sub>], 6,15 [s, 1H, =CH-], 5,7–6,2 [breites s, 2H, NH<sub>2</sub>], 7,25–7,55 [m, 5H, ArH]. – IR (KBr):  $\nu$ /cm<sup>-1</sup> = 3490 und 3410 (NH<sub>2</sub>), 2160 (CN), 1640 (CO), 1590, 1570 (C=C–N). – UV (Acetonitril):  $\lambda_{\max}$ /nm (lg  $\epsilon$ ) = 414 (4,450), 262 (3,982).  
 $C_{16}H_{20}N_4O$  Ber.: C 67,59 H 7,09 N 19,70  
 (284,34) Gef.: C 67,76 H 7,22 N 19,90.

### 2-Cyan-*N,N*-dimethyl-5,5-bis(dimethylamino)-3-phenyl-penta-2,4-dienamid (**8ab**)

Nach der Allgemeinvorschrift erhält man nach 3 h aus 9,8 g (40 mmol) **6e** und 4,5 g (40 mmol) Cyanessigsäuredimethylamid 10,5 g (84%) **8ab**, gelbe Kristalle mit *F.* 141–142 °C (Acetonitril). – <sup>1</sup>H-NMR (CDCl<sub>3</sub>/TMS):  $\delta$ /ppm = 2,60, 2,80 und 3,10 [je sehr breites s, 18H, N(CH<sub>3</sub>)<sub>2</sub>], 4,80 [s, 1H, =CH-], 7,13 [m, 5H, ArH]. – UV (Acetonitril):  $\lambda_{\max}$ /nm (lg  $\epsilon$ ) = 410 (4,399), 268 (4,075).

$C_{18}H_{24}N_4O$  Ber.: C 69,20 H 7,74 N 17,93  
 (312,42) Gef.: C 69,14 H 7,73 N 17,85.

### 5,5-Bis(dimethylamino)-2,3-diphenyl-penta-2,4-diennitril (**8ac**)

9,8 g (40 mmol) **6e** werden mit 4,69 g (40 mmol) Benzylcyanid nach Variante B 2 h umgesetzt. Der Ansatz wird über Nacht stehengelassen und danach wird das Lösungsmittel im Vak. entfernt. Das zurückbleibende Öl kristallisiert nach längerem Stehen im Kühlschrank. Ausb. 9,6 g (76%) **8ac**, orange-rote Kristalle mit *F.* 158–159 °C (Essigester). – <sup>1</sup>H-NMR (CDCl<sub>3</sub>/TMS):  $\delta$ /ppm = 2,23 und 2,73 [je (breit) s, 12H, N(CH<sub>3</sub>)<sub>2</sub>], 4,42 und 4,65 [je s, 1H, =CH-], 6,9–7,6 [m, 10H, ArH]. – UV (Acetonitril):  $\lambda_{\max}$ /nm (lg  $\epsilon$ ) = 426 (4,328), 274 (4,23).  
 $C_{21}H_{23}N_3$  Ber.: C 79,46 H 7,30 N 13,24  
 (317,42) Gef.: C 79,40 H 7,35 N 13,19.

### 5,5-Bis(dimethylamino)-2-methoxycarbonyl-3-phenyl-penta-2,4-diensäuremethylester (**8ad**)

Die Herstellung von **8ad** ist in [2] beschrieben, die Substanz erscheint dort als Verbindung **12d**.

### 5,5-Bis(dimethylamino)-2-ethoxycarbonyl-3-phenyl-penta-2,4-diensäureethylester (**8ae**)

7,4 g (30 mmol) **6e** und 4,8 g (30 mmol) Malonsäurediethylester werden 3 h nach Variante B umgesetzt. Ausb. 10,2 g (94%) **8ae**, rotes hochviskoses Öl mit *Kp.* 195 °C/0,001 Torr. – <sup>1</sup>H-NMR (CDCl<sub>3</sub>/TMS):  $\delta$ /ppm = 1,03 [t, *J* = 7Hz, 6H, OCH<sub>2</sub>–CH<sub>3</sub>], 2,70 [s, 12H, N(CH<sub>3</sub>)<sub>2</sub>], 4,0 (q, *J* = 7Hz, 4H, OCH<sub>2</sub>–CH<sub>3</sub>], 5,33 [s, 1H, =CH-], 7,3 [m, 5H, ArH]. – UV (Acetonitril):  $\lambda_{\max}$ /nm (lg  $\epsilon$ ) = 420 (4,430), 267 (4,185).  
 $C_{20}H_{28}N_2O_4$  Ber.: C 66,65 H 7,83 N 7,77  
 (360,45) Gef.: C 66,35 H 7,91 N 7,70.

### 2-Acetyl-5,5-bis(dimethylamino)-3-phenyl-penta-2,4-dien-säuremethylester (**8af**)

Nach Variante B (2 h) erhält man aus 5,1 g (20 mmol) **6e** und 2,4 g (20 mmol) Acetessigsäuremethylester 4,55 g (72%) **8af**, hellrote Kristalle mit *F.* 128 °C (Essigester). – <sup>1</sup>H-NMR (CDCl<sub>3</sub>/TMS):  $\delta$ /ppm = 2,26 und 2,46 [s, 3H, COOCH<sub>3</sub>], 2,90

und 3,03 [s, 12H, N(CH<sub>3</sub>)<sub>2</sub>], 3,13 und 3,33 [s, 3H, COCH<sub>3</sub>], 5,30 und 6,27 [s, 1H, =CH-], 7,2–7,6 [m, 5H, ArH]. – UV (Acetonitril):  $\lambda_{\max}$ /nm (lg  $\epsilon$ ) = 440 (3,820), 272 (4,340).

$C_{18}H_{24}N_2O_3$  Ber.: C 68,33 H 7,65 N 8,85  
 (316,4) Gef.: C 68,44 H 7,73 N 8,75.

### 3-Acetyl-6,6-bis(dimethylamino)-4-phenyl-penta-3,5-dien-2-on (**8ag**)

Die Umsetzung von 9,8 g (40 mmol) **6e** mit 4,0 g (40 mmol) Acetylaceton (Variante A, 3 h) liefert 8,4 g (70%) **8ag**, rote, nadelförmige Kristalle mit *F.* 135–136 °C (Essigester/Acetonitril 1:1). – <sup>1</sup>H-NMR (CDCl<sub>3</sub>/TMS):  $\delta$ /ppm = 1,76 und 2,16 [s, 3H, COCH<sub>3</sub>], 2,90–3,10 [s, 12H, N(CH<sub>3</sub>)<sub>2</sub>], 6,43 [s, 1H, =CH-], 7,2–7,7 [m, 5H, ArH]. – UV (Acetonitril):  $\lambda_{\max}$ /nm (lg  $\epsilon$ ) = 458 (3,756), 284 (4,334).

$C_{18}H_{24}N_2O_2$  Ber.: C 71,97 H 8,05 N 9,33  
 (300,4) Gef.: C 71,93 H 8,11 N 9,51.

### 5-[3,3-Bis(dimethylamino)-1-phenyl-prop-2-en-1-yliden]-1,3-dimethyl-1H,3H,5H-pyrimidin-2,4,6-trion (**8ah**)

Aus 9,8 g (40 mmol) **6e** und 6,24 g (40 mmol) 1,3-Dimethylbarbitursäure erhält man nach Variante A (4 h) 11 g (77%) **8ah**, gelbe Kristalle mit *F.* 260–261 °C (Acetonitril). – <sup>1</sup>H-NMR (CDCl<sub>3</sub>/TMS):  $\delta$ /ppm = 3,10 [s, 12H, N(CH<sub>3</sub>)<sub>2</sub>], 3,30 [s, 6H, N–CH<sub>3</sub>], 5,53 [s, 1H, =CH-], 7,4–7,6 [m, 5H, ArH]. – UV (Acetonitril):  $\lambda_{\max}$ /nm (lg  $\epsilon$ ) = 420 (3,778), 288 (4,119), 247 (4,334).

$C_{19}H_{24}N_4O_3$  Ber.: C 64,03 H 6,79 N 15,72  
 (356,43) Gef.: C 64,13 H 6,88 N 15,88.

### 2-Diethylphosphono-5,5-bis(dimethylamino)-3-phenyl-penta-2,4-diensäureethylester (**8ai**)

7,4 g (30 mmol) **6e** und 6,73 g (30 mmol) Phosphonoessigsäuretriethylester werden nach Variante A (22 h) umgesetzt. Ausb. 8,6 g (68%) **8ai**, rotes viskoses Öl mit *Kp.* 192 °C/0,001 Torr. – <sup>1</sup>H-NMR (CDCl<sub>3</sub>/TMS):  $\delta$ /ppm = 0,90 [t, *J* = 7Hz, 3H, CO<sub>2</sub>CH<sub>2</sub>–CH<sub>3</sub>], 1,30 [t, *J* = 7Hz, 6H, POCH<sub>2</sub>–CH<sub>3</sub>], 2,76 [s, 12H, N(CH<sub>3</sub>)<sub>2</sub>], 3,70–4,30 [m, 6H, CO<sub>2</sub>CH<sub>2</sub>CH<sub>3</sub> und POCH<sub>2</sub>CH<sub>3</sub>], 5,50 [s, 1H, =CH-], 7,3–7,6 [m, 5H, ArH]. – UV (Acetonitril):  $\lambda_{\max}$ /nm (lg  $\epsilon$ ) = 406 (4,310), 266 (4,201).

$C_{21}H_{33}N_2O_5P$  Ber.: C 59,42 H 7,84 N 6,60  
 (424,47) Gef.: C 59,04 H 7,92 N 6,71.

### 1,1-Bis(dimethylamino)-4-nitro-3-phenyl-but-1,3-dien (**8aj**)

Nach Variante A (12 h) erhält man aus 8,45 g (35 mmol) **6e** und 2,1 g (35 mmol) Nitromethan 7,0 g (77%) **8aj**, tiefrote, feinnadlige Kristalle mit *F.* 142–144 °C (Essigester). – <sup>1</sup>H-NMR (CDCl<sub>3</sub>/TMS):  $\delta$ /ppm = 2,80 [s, 12H, N(CH<sub>3</sub>)<sub>2</sub>], 6,83 [s, 2H, =CH- und =CH–NO<sub>2</sub>], 7,20–7,40 [m, 5H, ArH]. – UV (Acetonitril):  $\lambda_{\max}$ /nm (lg  $\epsilon$ ) = 438 (4,439), 274 (4,114).

$C_{14}H_{19}N_3O_2$  Ber.: C 64,35 H 7,33 N 16,07  
 (261,3) Gef.: C 64,45 H 7,32 N 16,11.

### Umsetzung von 2,3,5-Trimethyl-1,3,4-thiadiazolium-methylsulfat (**9**) mit **6e**

Zu 7,2 g (30 mmol) **9** in 30 ml absol. Acetonitril tropft man 7,4 g (30 mmol) **6e** in 20 ml abs. Acetonitril und röhrt 5 h bei Raumtemp., wobei der Ansatz eine dunkelrote Farbe annimmt. Das Lösungsmittel wird im Vakuum entfernt. Von dem zurückbleibenden roten Öl werden 4,8 g entnommen und mit

4,1 g (10 mmol) Natriumtetraphenylborat in 50 ml heißem Acetonitril gelöst. Beim Abkühlen bildet sich ein feiner, schleimiger Niederschlag. Man dekantiert nach dem Absetzen. Die erhaltene klare Flüssigkeit wird im Rotationsverdampfer vom Acetonitril befreit. Das zurückbleibende rote Öl wird mit wenig Ether verrieben und im Kühlschrank zum Auskristallisieren gebracht. Danach wird aus Ethanol umkristallisiert. Man erhält 1,3,3-Tris(dimethylamino)-1-phenylallylium-tetraphenylborat (**10b**) als leicht orange-rotstichige Kristalle mit *F.* 147–148 °C. – <sup>1</sup>H-NMR (CDCl<sub>3</sub>/TMS): δ/ppm = 2,33; 2,78 [s, 18H, N(CH<sub>3</sub>)<sub>2</sub>], 4,17 [s, 1H, -CH-], 6,85–7,60 [m, 5H, ArH]. IR (KBr): ν/cm<sup>-1</sup> = 1524 cm<sup>-1</sup> (C=C), 1540 (C=N), 1575 (C=N).

C<sub>39</sub>H<sub>44</sub>BN<sub>3</sub> Ber.: C 82,82 H 7,84 N 7,43  
(565,60) Gef.: C 82,77 H 7,86 N 7,47.

### 3-Cyan-6-dimethylamino-1*H*-2-pyridon (**11a**)

0,65 g (3,1 mmol) **8d** werden im Wasserstrahlpumpenvakuum bis zum Schmelzen erhitzt, wobei Dimethylamin entweicht und das Produkt allmählich fest wird. Nach 30 min lässt man abkühlen und kristallisiert aus Essigester/Acetonitril (1:1) um. Ausb. 0,42 g (93%) **11a**, farblose Kristalle mit *F.* 277 °C (Zers.). (Lit. [36] 282–283 °C). – <sup>1</sup>H-NMR (D<sub>6</sub>-DMSO/TMS): δ/ppm = 3,10 [s, 6H, N(CH<sub>3</sub>)<sub>2</sub>], 5,78 und 7,53 [je d, *J* = 9 Hz, 2H, -CH=CH-], 10,83–11,50 [breites s, 1H, NH]. – IR (KBr): ν/cm<sup>-1</sup> = 2205 (CN), 1640 und 1610 (CO und C=C).

C<sub>8</sub>H<sub>9</sub>N<sub>3</sub>O Ber.: C 58,89 H 5,56 N 25,74  
(163,16) Gef.: C 58,74 H 5,54 N 25,92.

### 3-Cyan-6-dimethylamino-4-phenyl-1*H*-2-pyridon (**11b**)

1,5 g (5,3 mmol) **8aa** werden im Wasserstrahlpumpenvakuum 1 h auf 170 °C erhitzt. Nach dem Abkühlen kristallisiert man aus Acetonitril/Dimethylsulfoxid (1:1) um. Ausb. 1,1 g (87%) **11 b**, farblose Kristalle mit *F.* 297 °C (Zers.). – <sup>1</sup>H-NMR (D<sub>6</sub>-DMSO/TMS): δ/ppm = 3,10 [s, 6H, N(CH<sub>3</sub>)<sub>2</sub>], 5,75 [s, 1H, -CH=CH-], 6,3–6,7 [breites s, 1H, NH], 7,23–7,50 [m, 5H, ArH]. – IR (KBr): ν/cm<sup>-1</sup> = 2210 (CN), 1630 und 1610 (CO und C=C).

C<sub>14</sub>H<sub>13</sub>N<sub>3</sub>O Ber.: C 70,28 H 5,48 N 17,55  
(239,26) Gef.: C 70,03 H 5,57 N 17,53.

### *N*-Dimethylaminomethylen-4-aminocumarin (**14a**)

Ein Gemisch aus 0,97 g (6 mmol) 4-Aminocumarin (**12a**) und 6 ml (46 mmol) *N,N*-Dimethylformamid-dimethylacetal (**13a**) wird unter Röhren 40 min auf 70 °C erhitzt. Das überschüssige Acetal **13a** wird im Vakuum entfernt und der Rückstand mit 20 ml absol. Ether versetzt. Die ausgeschiedenen Kristalle werden abgesaugt und mit trockenem Ether gewaschen und aus Methanol umkristallisiert. Ausb. 1,23 g (95%) **14a**, farblose glänzende Kristalle mit *F.* 113–115 °C. – <sup>1</sup>H-NMR (CDCl<sub>3</sub>/TMS): δ/ppm = 3,13 [s, 6H, N(CH<sub>3</sub>)<sub>2</sub>], 5,59 [s, 1H, 3-H], 7,0–8,1 [m, 4H, ArH], 7,73 [s, 1H, N=CH-N]. – IR (KBr): ν/cm<sup>-1</sup> = 1737 (C=O), 1625 (-CH=N), 1600, 1545. – MS (70eV): *m/z* (%) = 216 (100; M<sup>+</sup>), 187 (19), 172 (90), 146 (12).

C<sub>12</sub>H<sub>12</sub>N<sub>2</sub>O<sub>2</sub> Ber.: C 66,65 H 5,59 N 12,96  
(216,24) Gef.: C 66,52 H 5,57 N 12,68.

### *N*-(1-Dimethylamino-ethyliden)-4-aminocumarin (**14b**)

Unter Röhren werden 0,50 g (3,1 mmol) **12a** mit 2,71 g (3,0

ml; 20 mmol) *N,N*-Dimethylacetamid-dimethylacetal (**13b**) 2 h auf 80 °C erhitzt. Die Reaktionsmischung wird auf 0 °C abgekühlt. Die ausgeschiedenen Kristalle werden abfiltriert, mit Ether gewaschen und aus abs. Ethanol umkristallisiert. Ausb. 0,67 g (94%) **14b**, nahezu farblose Plättchen mit *F.* 156,5–158 °C. – <sup>1</sup>H-NMR (250 MHz, CDCl<sub>3</sub>/TMS): δ/ppm = 2,07 [s, 3H, CH<sub>3</sub>-C], 3,15 [s, 6H, N(CH<sub>3</sub>)<sub>2</sub>], 5,41 [s, 1H, 3-H], 7,21 [m<sub>c</sub>, 1H, 6-ArH], 7,30 [dd, 1H, 8-ArH], 7,48 [m, 1H, 7-ArH], 7,72 [dd, *J* = 7,9 Hz, *J* = 1,6 Hz, 1H, 5-ArH]. – IR (Nujol): ν/cm<sup>-1</sup> = 1700 (CO), 1582 (-CH=N). – MS (70eV): *m/z* (%) = 230 (100; M<sup>+</sup>), 215 (2; M<sup>+</sup>-CH<sub>3</sub>), 201 (33), 186 (79), 145 (21).

C<sub>13</sub>H<sub>14</sub>N<sub>2</sub>O<sub>2</sub> Ber.: C 67,81 H 6,13 N 12,17  
(230,27) Gef.: C 67,78 H 6,17 N 12,04.

### *N*-(1-Dimethylaminomethylen)-4-aminocumarin-3-carbaldehyd (**14c**)

Eine Suspension von 0,58 g (3 mmol) **12b** in 3,0 ml (23 mmol) **13a** wird unter Röhren 4 h auf 70 °C erhitzt. Der dunkelgefärbte Ansatz wird über Nacht stehengelassen. Die ausgeschiedenen Kristalle werden abfiltriert, mit trockenem Ether gewaschen, Rohausb. 0,30 g (40%) **14c**, brauner Feststoff, der zur Analyse aus abs. Ethanol unter Zusatz von Aktivkohle umkristallisiert wird. Ausb. 0,10 g (13%) **14c**, gelbe Kristalle mit *F.* 161–162 °C. – <sup>1</sup>H-NMR (250 MHz, CDCl<sub>3</sub>): δ/ppm = 3,26 und 3,28 [je s, 6H, N(CH<sub>3</sub>)<sub>2</sub>], 7,24 [m, 2H, 6-H<sub>Ar</sub> und 8-ArH], 7,55 [m<sub>c</sub>, 1H, 7-ArH], 7,80 [s, 1H, N=CH-N], 8,13 [dd, *J* = 6,4 Hz, *J* = 1,6 Hz, 1H, 5-ArH], 10,08 [s, 1H, CHO]. – IR (KBr): ν/cm<sup>-1</sup> = 1720 (CO, Lacton), 1673 (-CH=O), 1630 (-CH=N), 1610, 1592, 1486. – MS (70eV): *m/z* (%) = 244 (42; M<sup>+</sup>), 229 (87; M<sup>+</sup>-CH<sub>3</sub>), 216 (14), 201 (100), 173 (29), 146 (68).

C<sub>13</sub>H<sub>12</sub>N<sub>2</sub>O<sub>3</sub> Ber.: C 63,91 H 4,95 N 11,47  
(244,25) Gef.: C 63,72 H 4,96 N 11,31.

### 2-Dimethylamino-5-oxo-chromeno[4,3-*b*]pyridin (**15a**)

Ein Gemisch aus 0,95 g (5,0 mmol) **12b** und 2,71 (3,0 ml; 20 mmol) **13b** in 5 ml abs. Acetonitril wird unter Röhren 3 h unter Rückfluß erhitzt. Nach dem Abkühlen werden 10 ml abs. Ether zugefügt, die Kristalle abfiltriert und mit abs. Ether gewaschen. Ausb. 1,00 g (83%). Nach Umkristallisieren aus Ethanol (mit Aktivkohlezusatz) erhält man **15a** als farblose Nadeln mit *F.* 189–190,5 °C. – <sup>1</sup>H-NMR (250 MHz, CDCl<sub>3</sub>/TMS): δ/ppm = 3,26 [s, 6H, N(CH<sub>3</sub>)<sub>2</sub>], 6,61 [d, *J* = 9,1 Hz, 1H, 3-ArH], 7,25–7,35 [m, 2H, 7-ArH und 9-ArH], 7,50 [m<sub>c</sub>, 1H, 8-ArH], 8,18 [d, *J* = 9,1 Hz, 1H, 4-ArH], 8,39 [dd, *J* = 8 Hz, *J* = 1,7 Hz, 1H, 10-ArH]. – IR (KBr): ν/cm<sup>-1</sup> = 1715 (CO, breit), 1612, 1585, 1528, 745. – MS (70eV): *m/z* (%) = 240 (68; M<sup>+</sup>), 225 (48; M<sup>+</sup>-CH<sub>3</sub>), 211 (100), 197 (12), 196 (13), 169 (8), 152 (23).

C<sub>14</sub>H<sub>12</sub>N<sub>2</sub>O<sub>2</sub> Ber.: C 69,99 H 5,04 N 11,66  
(240,26) Gef.: C 69,93 H 5,07 N 11,48.

### 2-[2,2-Bis(dimethylamino)-1-cyanethenyl]-5-oxo-chromeno[4,3-*b*]pyridin (**15b**)

Ein feingepulvertes Gemisch aus 0,57 g (3,0 mmol) **12b** und 0,70 g (3,6 mmol) 2-Bis(dimethylamino)methylen-3-methoxybut-3-en-nitril (**16**) wird 1 h auf 140 °C erhitzt, wobei Methanol und Wasser abgespalten wird. Nach dem Abkühlen fügt man 3 ml Methanol zu und kühlt 30 min auf 0–5 °C. Der

gebildete Niederschlag wird abfiltriert, mit kaltem Methanol gewaschen und mit Methylenechlorid extrahiert. Der nach dem Entfernen des Lösungsmittels verbleibende kristalline Rückstand wird aus Acetonitril umkristallisiert. Ausb. 0,35 g (35%) dunkelgelbe, glänzende Kristalle mit *F.* 237–239 °C. Die Substanz zeigt im UV-Licht kräftige blaugrüne Fluoreszenz. – <sup>1</sup>H-NMR (250 MHz, CDCl<sub>3</sub>/TMS):  $\delta$ /ppm = 3,09 [s, 12H, N(CH<sub>3</sub>)<sub>2</sub>], 7,25–7,40 [m, 3H, 3-ArH, 7-ArH und 9-ArH], 7,49–7,56 [m, 1H, 8-ArH], 8,27 [d, *J* = 8,6 Hz, 1H, 4-ArH], 8,25–8,40 [m, 1H, 10-Ar]. – IR (KBr):  $\nu$ /cm<sup>-1</sup> = 2165 (CN), 1730 (CO). – MS (70eV): *m/z* (%) = 334 (67; M<sup>+</sup>), 333 (100; M<sup>+</sup>–H), 319 (6), 290 (17), 276 (18), 261 (13).

C<sub>19</sub>H<sub>18</sub>N<sub>4</sub>O<sub>2</sub> Ber.: C 68,25 H 5,43 N 16,76  
(334,37) Gef.: C 68,30 H 5,45 N 16,97.

### 3-Cyan-1-dimethylamino-4-methyl-5-oxo-chromeno[4,3-*b*]-pyridin (15c)

Eine feingepulverte Mischung aus 0,48 g (3,0 mmol) **12a** und 0,70 g (3,6 mmol) **16** wird 1 h auf 140 °C erhitzt, wobei Dimethylamin und Methanol entweicht. Nach dem Abkühlen werden 3 ml Methanol zugefügt, auf 0–5 °C abgekühlt und bei dieser Temperatur 30 min belassen. Der Niederschlag wird abgesaugt und gründlich mit kaltem Methanol gewaschen. Ausb. 0,29 g (35%) **15c**. Nach Umkristallisieren aus Acetonitril erhält man dunkelgelbe Blättchen mit *F.* 222–224 °C. – <sup>1</sup>H-NMR (250 MHz, CDCl<sub>3</sub>/TMS):  $\delta$ /ppm = 2,80 [s, 3H, 4-CH<sub>3</sub>], 3,31 [s, 6H, N(CH<sub>3</sub>)<sub>2</sub>], 7,25–7,40 [m, 2H, 7-ArH und 9-ArH], 7,52–7,62 [m, 1H, 8-ArH], 8,50 [dd, *J* = 8,0 Hz, *J* = 1,6 Hz, 1H, 10-ArH]. – IR (KBr):  $\nu$ /cm<sup>-1</sup> = 2204 (CN), 1729 (CO). – MS (70eV): *m/z* (%) = 279 (53; M<sup>+</sup>), 264 (100; M<sup>+</sup>–CH<sub>3</sub>), 250 (41), 236 (13).

C<sub>16</sub>H<sub>13</sub>N<sub>3</sub>O<sub>2</sub> Ber.: C 68,81 H 4,69 N 15,04  
(279,30) Gef.: C 68,60 H 4,66 N 15,15.

### Umsetzung der Orthoamide **6a,b,e,f** mit Enaminen **17** (Allgemeine Arbeitsvorschrift)

Zu einer Lösung bzw. Suspension des Enamins **17** in 30 ml absol. THF wird das Orthoamid **6** zugetropft und danach 18–69 h unter Rückfluß erhitzt. Die flüchtigen Bestandteile werden im Rotationsverdampfer entfernt. Der Rückstand wird umkristallisiert (Variante A) oder im Ölpumpenvakuum über eine 30 cm lange Vigreux Kolonne fraktionierend destilliert (Variante B).

### 6-Dimethylamino-2-methyl-pyridin-3-carbonsäureethylester (18a)

Aus 5,09 g (39 mmol) **17a** und 7,11 g (42 mmol) **6a** erhält man (50 h, Variante B) 3,44 g (42%) **18a**, gelbes Öl mit *Kp.* 102–103 °C/0,06 Torr,  $n_{D}^{20}$  = 1,5648. – <sup>1</sup>H-NMR (250 MHz, CDCl<sub>3</sub>/TMS):  $\delta$ /ppm = 1,36 [t, *J* = 7,1 Hz, 3H, CH<sub>2</sub>–CH<sub>3</sub>], 2,72 [s, 3H, CH<sub>3</sub>], 3,12 [s, 6H, N(CH<sub>3</sub>)<sub>2</sub>], 4,29 [q, *J* = 7,1 Hz, 2H, CH<sub>2</sub>–CH<sub>3</sub>], 6,29 [d, *J* = 8,9 Hz, 1H, 5-H], 8,00 [d, *J* = 8,9 Hz, 1H, 4-H]. – <sup>13</sup>C-NMR (CDCl<sub>3</sub>/TMS):  $\delta$ /ppm = 14,44 [CH<sub>2</sub>–CH<sub>3</sub>], 25,62 [CH<sub>3</sub>], 37,59 [N(CH<sub>3</sub>)<sub>2</sub>], 59,99 [CH<sub>2</sub>CH<sub>3</sub>], 101,97 [C-3], 112,12 [C-5], 140,04 [C-4], 159,43 [C-6], 160,63 [C-2], 166,97 [CO<sub>2</sub>]. – IR (CDCl<sub>3</sub>):  $\nu$ /cm<sup>-1</sup> = 1700 (CO), 1600, 1550, 1510 (Ar).

C<sub>11</sub>H<sub>16</sub>N<sub>2</sub>O<sub>2</sub> Ber.: C 63,44 H 7,74 N 13,45  
(208,26) Gef.: C 63,40 H 7,85 N 13,51.

### 6-Dimethylamino-4-methoxymethyl-2-methyl-pyridin-3-carbonsäureethylester (18b)

2,60 g (20 mmol) **17a** und 5,30 g (25 mmol) **6b** liefern (45 h, Variante B) 3,49 g (70%) **18b**, schwachgelber Feststoff mit *Kp.* 113–115 °C/0,05 Torr, *F.* 32 °C. – <sup>1</sup>H-NMR (250 MHz, CDCl<sub>3</sub>/TMS):  $\delta$ /ppm = 1,36 [t, *J* = 7,1 Hz, 3H, CH<sub>2</sub>–CH<sub>3</sub>], 2,52 [s, 3H, CH<sub>3</sub>], 3,12 [s, 6H, N(CH<sub>3</sub>)<sub>2</sub>], 3,40 [s, 3H, OCH<sub>3</sub>], 4,32 [q, *J* = 7,1 Hz, 2H, CH<sub>2</sub>–CH<sub>3</sub>], 4,54 [s, 2H, CH<sub>2</sub>O], 6,49 [s, 1H, 5-H]. – <sup>13</sup>C-NMR (CDCl<sub>3</sub>/TMS):  $\delta$ /ppm = 14,28 [CH<sub>2</sub>–CH<sub>3</sub>], 24,53 [CH<sub>3</sub>], 37,71 [N(CH<sub>3</sub>)<sub>2</sub>], 58,59 [OCH<sub>3</sub>], 60,51 [CH<sub>2</sub>CH<sub>3</sub>], 72,50 [CH<sub>2</sub>O], 100,41 [C-3], 113,33 [C-5], 148,62 [C-4], 157,17; 158,95 [C-2, C-6], 168,81 [CO<sub>2</sub>]. – IR (CDCl<sub>3</sub>):  $\nu$ /cm<sup>-1</sup> = 1710 (CO), 1600, 1545, 1510 (Ar).

C<sub>13</sub>H<sub>20</sub>N<sub>2</sub>O<sub>3</sub> Ber.: C 61,88 H 7,99 N 11,10  
(252,31) Gef.: C 61,62 H 8,07 N 11,11.

### 6-Dimethylamino-2-methyl-4-phenyl-pyridin-3-carbonsäureethylester (18c)

Die Umsetzung (50 h, Variante A) von 5,09 g (39 mmol) **17a** mit 7,11 g (42 mmol) **6e** liefert 7,10 g (96%) **18c**, gelbes Öl mit *Kp.* 149 °C/0,001 Torr. – <sup>1</sup>H-NMR (250 MHz, CDCl<sub>3</sub>/TMS):  $\delta$ /ppm = 0,86 [t, *J* = 7,1 Hz, 3H, CH<sub>2</sub>–CH<sub>3</sub>], 2,55 [s, 3H, CH<sub>3</sub>], 3,12 [s, 6H, N(CH<sub>3</sub>)<sub>2</sub>], 3,96 [q, *J* = 7,1 Hz, 2H, CH<sub>2</sub>–CH<sub>3</sub>], 6,26 [s, 1H, 5-H], 7,32–7,37 [m, 5H, Ar-H]. – <sup>13</sup>C-NMR (CDCl<sub>3</sub>/TMS):  $\delta$ /ppm = 13,57 [CH<sub>2</sub>–CH<sub>3</sub>], 23,59 [CH<sub>3</sub>], 37,82 [N(CH<sub>3</sub>)<sub>2</sub>], 60,48 [CH<sub>2</sub>CH<sub>3</sub>], 103,34 [C-3], 115,83 [C-5], 127,68; 127,75; 128,22; 141,06 [C–Ar], 150,75 [C-4], 156,22 [C-6], 158,54 [C-2], 169,67 [CO<sub>2</sub>]. – IR (CDCl<sub>3</sub>):  $\nu$ /cm<sup>-1</sup> = 1710 (CO), 1590, 1540, 1510 (Ar).

C<sub>17</sub>H<sub>20</sub>N<sub>2</sub>O<sub>2</sub> Ber.: C 71,80 H 7,09 N 9,85  
(284,36) Gef.: C 71,85 H 7,22 N 9,77.

### 4-(*p*-Chlorphenyl)-6-dimethylamino-2-methyl-pyridin-3-carbonsäureethylester (18d)

Aus 3,23 g (25 mmol) **17a** und 8,39 g (30 mmol) **6f** erhält man (18 h, Variante B) 5,82 g (73%) **18d**, gelbes Öl mit *Kp.* 165 °C/0,01 Torr, das nach Anreiben auskristallisiert, *F.* 56–60 °C. – <sup>1</sup>H-NMR (250 MHz, CDCl<sub>3</sub>/TMS):  $\delta$ /ppm = 0,94 [t, *J* = 7,1 Hz, 3H, CH<sub>2</sub>–CH<sub>3</sub>], 2,54 [s, 3H, CH<sub>3</sub>], 3,11 [s, 6H, N(CH<sub>3</sub>)<sub>2</sub>], 3,99 [q, *J* = 7,1 Hz, 2H, CH<sub>2</sub>–CH<sub>3</sub>], 6,19 [m, 1H, 5-H], 7,24,7,34 [je d, *J* = 8,6 Hz, 4H, Ar-H]. – <sup>13</sup>C-NMR (CDCl<sub>3</sub>/TMS):  $\delta$ /ppm = 13,67 [CH<sub>2</sub>–CH<sub>3</sub>], 23,64 [CH<sub>3</sub>], 37,76 [N(CH<sub>3</sub>)<sub>2</sub>], 60,55 [CH<sub>2</sub>CH<sub>3</sub>], 103,12 [C-3], 115,52 [C-5], 128,36; 129,06; 133,82; 139,51 [C–Ar], 149,52 [C-4], 156,48 [C-6], 158,47 [C-2], 168,81 [CO<sub>2</sub>Et]. – IR (KBr):  $\nu$ /cm<sup>-1</sup> = 1720 (C=O), 1600, 1570, 1535, 1510, 1490 (Ar).

C<sub>17</sub>H<sub>19</sub>N<sub>2</sub>O<sub>2</sub>Cl Ber.: C 64,05 H 6,01 N 8,79 Cl 11,12  
(318,80) Gef.: C 64,20 H 6,11 N 8,70 Cl 11,06.

### 3-Acetyl-6-dimethylamino-2-methyl-pyridin (18e)

Nach 50 h erhält man aus 3,97 g (40 mmol) **17b** und 7,62 (45 mmol) **6a** (Variante B) 4,50 g (63%) **18e** mit *Kp.* 105 °C/0,005 Torr und *F.* 40–41 °C. – <sup>1</sup>H-NMR (250 MHz, CDCl<sub>3</sub>/TMS):  $\delta$ /ppm = 2,48 [s, 3H, CH<sub>3</sub>], 2,7 [s, 3H, CH<sub>3</sub>CO], 3,15 [s, 6H, N(CH<sub>3</sub>)<sub>2</sub>], 6,31 [d, *J* = 8,9 Hz, 1H, 5-H], 7,85 [d, *J* = 8,9 Hz, 1H, 4-H]. – <sup>13</sup>C-NMR (CDCl<sub>3</sub>/TMS):  $\delta$ /ppm = 26,31 [CH<sub>3</sub>], 28,58 [CH<sub>3</sub>CO], 37,61 [N(CH<sub>3</sub>)<sub>2</sub>], 101,49 [C-3], 120,09 [C-5], 139,91 [C-4], 158,98 [C-6], 160,3 [C-2], 197,49 [CO]. – IR (CDCl<sub>3</sub>):  $\nu$ /cm<sup>-1</sup> = 1670 (C=O), 1590, 1550, 1510 (Ar).

$C_{10}H_{14}N_2O$  Ber.: C 67,39 H 7,92 N 15,72  
(178,24) Gef.: C 67,19 H 7,96 N 15,87.

**3-Acetyl-6-dimethylamino-4-methoxymethyl-2-methyl-pyridin (18f)**

2,47 g (25 mmol) **17b** werden mit 6,40 g (30 mmol) **6b** 47 h umgesetzt und nach Variante B aufgearbeitet. Ausb. 3,55 g (63%) **18f**, hellgelbes Öl mit  $K_p$ . 97–99 °C/0,01 Torr. –  $^1H$ -NMR ( $CDCl_3/TMS$ ):  $\delta/\text{ppm}$  = 2,41; 2,47 [je s, 3H,  $CH_3$ ], 3,10 [s, 6H,  $N(CH_3)_2$ ], 3,35 [s, 3H,  $O-CH_3$ ], 4,38 [s, 2H,  $CH_2O$ ], 6,37 [s, 1H, 5-H]. –  $^{13}C$ -NMR ( $CDCl_3/TMS$ ):  $\delta/\text{ppm}$  = 23,61 [ $CH_3$ ], 32,25 [ $CH_3CO$ ], 37,73 [ $N(CH_3)_2$ ], 58,50 [ $OCH_3$ ], 72,34 [ $CH_2CO$ ], 101,13 [C-3], 124,00 [C-5], 145,93 [C-4], 153,04 [C-6], 158,58 [C-2], 205,39 [CO]. – IR ( $CDCl_3$ ):  $\nu/\text{cm}^{-1}$  = 1685 (C=O), 1595, 1545, 1510 (Ar).

$C_{12}H_{18}N_2O_2$  Ber.: C 64,84 H 8,16 N 12,60  
(222,29) Gef.: C 64,61 H 8,38 N 12,70.

**3-Acetyl-6-dimethylamino-2-methyl-4-phenyl-pyridin (18g)**

Aus 2,58 g (26 mmol) **17b** und 7,36 g (30 mmol) **6e** erhält man (69 h, Variante B) 6,00 g (90%) **18g**, schwachgelber Feststoff mit  $K_p$ . 131 °C/0,001 Torr,  $F$ . 97–100 °C. –  $^1H$ -NMR ( $CDCl_3/TMS$ ):  $\delta/\text{ppm}$  = 1,83 [s, 3H,  $CH_3$ ], 2,46 [s, 3H,  $CH_3CO$ ], 3,12 [s, 6H,  $N(CH_3)_2$ ], 6,26 [s, 1H, 5-H], 7,33–7,42 [m, 5H, Ar-H]. –  $^{13}C$ -NMR ( $CDCl_3/TMS$ ):  $\delta/\text{ppm}$  = 23,47 [ $CH_3$ ], 32,41 [ $CH_3CO$ ], 37,8 [ $N(CH_3)_2$ ], 103,09 [C-3], 124,80 [C-5], 128,32; 128,49; 128,82; 140,3 [C-Ar], 149,28 [C-4], 154,31 [C-6], 158,22 [C-2], 205,91 [CO]. – IR ( $CDCl_3$ ):  $\nu/\text{cm}^{-1}$  = 1680 (C=O), 1590, 1580, 1530, 1510, 1500 (Ar).

$C_{16}H_{18}N_2O$  Ber.: C 75,56 H 7,13 N 11,01  
(254,33) Gef.: C 75,77 H 7,36 N 11,01.

**3-Acetyl-4-(*p*-chlorophenyl)-6-dimethylamino-2-methyl-pyridin (18h)**

1,98 g (20 mmol) **17b** werden mit 6,44 g (23 mmol) **6f** (21 h, Variante B) umgesetzt. Ausb. 4,42 g (77%) **18h**, schwachgelber Feststoff mit  $K_p$ . 161 °C/0,001 Torr,  $F$ . 83–84 °C. –  $^1H$ -NMR ( $CDCl_3/TMS$ ):  $\delta/\text{ppm}$  = 1,88 [s, 3H,  $CH_3$ ], 2,44 [s, 3H,  $CH_3CO$ ], 3,13 [s, 6H,  $N(CH_3)_2$ ], 6,21 [s, 1H, 5-H], 7,29; 7,39 [je d,  $J$  = 8,5 Hz, 4H, Ar-H]. –  $^{13}C$ -NMR ( $CDCl_3/TMS$ ):  $\delta/\text{ppm}$  = 23,89 [ $CH_3$ ], 32,52 [ $CH_3CO$ ], 37,76 [ $N(CH_3)_2$ ], 102,85 [C-3], 124,6 [C-5], 128,99; 129,59; 134,65; 138,68 [C-Ar], 147,86 [C-4], 154,42 [C-6], 158,18 [C-2], 205,61 [CO]. – IR (KBr):  $\nu/\text{cm}^{-1}$  = 1690 (C=O), 1600, 1590, 1570, 1530, 1490 (Ar).

$C_{16}H_{17}N_2OCl$  Ber.: C 66,55 H 5,93 N 9,70 Cl 12,28  
(288,78) Gef.: C 66,59 H 6,06 N 9,82 Cl 12,50.

**6-Dimethylamino-2-methyl-pyridin-3-carbonitril (18i)**

1,64 g (20 mmol) **17c** werden mit 3,89 g (23 mmol) **6a** 43 h umgesetzt und nach Variante B aufgearbeitet. **18i** wird als farbloser Feststoff mit  $K_p$ . 75 °C/0,05 Torr,  $F$ . 69 °C (Essigester) erhalten. Ausb. 3,83 g (55%). –  $^1H$ -NMR ( $CDCl_3/TMS$ ):  $\delta/\text{ppm}$  = 2,55 [s, 3H,  $CH_3$ ], 3,14 [s, 6H,  $N(CH_3)_2$ ], 6,31 [d,  $J$  = 8,9 Hz, 1H, 5-H], 7,51 [d,  $J$  = 8,9 Hz, 1H, 4-H]. –  $^{13}C$ -NMR ( $CDCl_3/TMS$ ):  $\delta/\text{ppm}$  = 23,78 [ $CH_3$ ], 37,72 [ $N(CH_3)_2$ ], 94,09 [C-5], 102,53 [C-3], 119,49 [CN], 140,18 [C-4], 159,21 [C-6], 161,58 [C-2]. – IR (KBr):  $\nu/\text{cm}^{-1}$  = 2200 (CN), 1645, 1600 (Ar).  $C_9H_{11}N_3$  Ber.: C 67,05 H 6,88 N 26,07  
(161,21) Gef.: C 66,86 H 6,89 N 25,97.

**6-Dimethylamino-4-methoxymethyl-2-methyl-pyridin-3-carbonitril (18j)**

1,64 g (20 mmol) **17c** werden mit 4,91 g (23 mmol) **6b** 44 h umgesetzt und nach Variante A aufgearbeitet. **18j** wird als farbloser Feststoff mit  $F$ . 104 °C (Essigester) erhalten. Ausb. 1,88 g (45%). –  $^1H$ -NMR ( $CDCl_3/TMS$ ):  $\delta/\text{ppm}$  = 2,55 [s, 3H,  $CH_3$ ], 3,15 [s, 6H,  $N(CH_3)_2$ ], 3,49 [s, 3H,  $OCH_3$ ], 4,49 [s, 2H,  $CH_2O$ ], 6,47 [s, 1H, 5-H]. –  $^{13}C$ -NMR ( $CDCl_3/TMS$ ):  $\delta/\text{ppm}$  = 23,74 [ $CH_3$ ], 37,80 [ $N(CH_3)_2$ ], 59,01 [ $OCH_3$ ], 71,68 [ $CH_2O$ ], 92,43 [C-5], 100,19 [C-3], 117,87 [CN], 150,81 [C-4], 159,39 [C-6], 161,87 [C-2]. – IR (KBr):  $\nu/\text{cm}^{-1}$  = 2200 (CN), 1600, 1520 (Ar).

$C_{11}H_{15}N_3O$  Ber.: C 64,37 H 7,37 N 20,47  
(205,26) Gef.: C 64,30 H 7,46 N 20,72.

**6-Dimethylamino-2-methyl-4-phenyl-pyridin-3-carbonitril (18k)**

Aus 1,64 g (20 mmol) **17c** und 6,14 g (30 mmol) **6e** erhält man (43 h, Variante A) 2,4 g (51%) **18k**, mit  $F$ . 125 °C (Essigester). –  $^1H$ -NMR ( $CDCl_3/TMS$ ):  $\delta/\text{ppm}$  = 2,65 [s, 3H,  $CH_3$ ], 3,15 [s, 6H,  $N(CH_3)_2$ ], 6,31 [s, 1H, 5-H], 7,44–7,52 [m, 5H, Ar-H]. –  $^{13}C$ -NMR ( $CDCl_3/TMS$ ):  $\delta/\text{ppm}$  = 24,30 [ $CH_3$ ], 37,86 [ $N(CH_3)_2$ ], 93,96 [C-5], 102,79 [C-3], 119,25 [CN], 128,30; 128,68; 129,21; 137,92 [C-Ar], 153,44 [C-4], 159,06 [C-6], 162,78 [C-2]. – IR (KBr):  $\nu/\text{cm}^{-1}$  = 2200 (CN), 1600, 1580, 1520 (Ar).

$C_{15}H_{15}N_3$  Ber.: C 75,92 H 6,37 N 17,71  
(237,31) Gef.: C 76,05 H 6,22 N 17,97.

**4-(*p*-Chlorophenyl)-6-dimethylamino-2-methyl-pyridin-3-carbonitril (18l)**

Die Umsetzung (24 h, Variante A) von 2,05 g (25 mmol) **17c** mit 8,39 g (30 mmol) **6f** liefert 5,0 g (74%) **18l**, farbloser Feststoff mit  $F$ . 210 °C (Essigester/Acetonitril 2:1). –  $^1H$ -NMR ( $CDCl_3/TMS$ ):  $\delta/\text{ppm}$  = 2,64 [s, 3H,  $CH_3$ ], 3,17 [s, 6H,  $N(CH_3)_2$ ], 6,27 [s, 1H, 5-H], 7,42; 7,47 [je d,  $J$  = 8,8 Hz, je 2H, Ar-H]. –  $^{13}C$ -NMR ( $CDCl_3/TMS$ ):  $\delta/\text{ppm}$  = 24,26 [ $CH_3$ ], 37,87 [ $N(CH_3)_2$ ], 93,71 [C-5], 102,55 [C-3], 119,02 [CN], 128,93; 129,64; 135,42; 136,32 [C-Ar], 152,2 [C-4], 159,03 [C-6], 162,95 [C-2]. – IR (KBr):  $\nu/\text{cm}^{-1}$  = 2200 (CN), 1600, 1570, 1530, 1495 (Ar).

$C_{15}H_{14}N_3Cl$  Ber.: C 66,30 H 5,19 N 15,46 Cl 13,05  
(271,75) Gef.: C 66,42 H 5,19 N 15,64 Cl 12,93.

**2-Dimethylamino-5,6,7,8-tetrahydrochinolin-5-on (20a)**

Die Umsetzung (43 h, Variante B) von 2,22 g (20 mmol) **19a** mit 3,89 g (23 mmol) **6a** liefert 2,15 g (55%) **20a**, farbloser Feststoff mit  $K_p$ . 108–115 °C/0,005 Torr,  $F$ . 97 °C (Essigester). –  $^1H$ -NMR ( $CDCl_3/TMS$ ):  $\delta/\text{ppm}$  = 2,04–2,14 [m, 2H, 7-H], 2,53–2,58 [m, 2H, 8-H], 2,87–2,92 [m, 2H, 6-H], 3,17 [s, 6H,  $N(CH_3)_2$ ], 6,42 [d,  $J$  = 9,0 Hz, 1H, 3-H], 8,02 [d,  $J$  = 9,0 Hz, 1H, 4-H]. –  $^{13}C$ -NMR ( $CDCl_3/TMS$ ):  $\delta/\text{ppm}$  = 22,23 [C-7], 33,08 [C-8], 37,81 [ $N(CH_3)_2$ ], 38,22 [C-6], 104,22 [C-3], 117,91 [C-4a], 136,18 [C-4], 160,19 [C-8a], 164,63 [C-2], 196,84 [C-5]. – IR (KBr):  $\nu/\text{cm}^{-1}$  = 1645  $\text{cm}^{-1}$  (CO), 1590 (Ar).  $C_{11}H_{14}N_2O$  Ber.: C 69,44 H 7,42 N 14,72  
(190,25) Gef.: C 69,14 H 7,44 N 14,62.

**2-Dimethylamino-4-phenyl-5,6,7,8-tetrahydrochinolin-5-on (20b)**

2,22 g (20 mmol) **19a** werden mit 6,14 g (25 mmol) **6e** 43 h

umgesetzt und nach Variante A aufgearbeitet. Ausb. 1,15 g (21%) **20b**, hellbrauner Feststoff mit *F.* 145 °C (Essigester). – <sup>1</sup>H-NMR (CDCl<sub>3</sub>/TMS): δ/ppm = 2,03–2,13 [m, 2H, 7-H], 2,48–2,53 [m, 2H, 8-H], 2,95–3,00 [m, 2H, 6-H], 3,15 [s, 6H, N(CH<sub>3</sub>)<sub>2</sub>], 6,14 [s, 1H, 3-H], 7,22–7,35 [m, 5H, Ar-H]. – <sup>13</sup>C-NMR (CDCl<sub>3</sub>/TMS): δ/ppm = 21,78 [C-7], 34,24 [C-8], 37,74 [N(CH<sub>3</sub>)<sub>2</sub>], 39,70 [C-6], 107,03 [C-3], 116,34 [C-4a], 127,09; 127,56; 127,65; 142,05 [C-Ar], 153,13 [C-4], 158,79 [C-8a], 165,80 [C-2], 196,12 [C-5]. – IR (KBr): ν/cm<sup>-1</sup> = 1660 (CO), 1590, 1520 (Ar).

C<sub>17</sub>H<sub>18</sub>N<sub>2</sub>O Ber.: C 76,66 H 6,81 N 10,52  
(266,34) Gef.: C 76,77 H 6,82 N 10,39.

#### 4-(*p*-Chlorphenyl)-2-dimethylamino-5,6,7,8-tetrahydrochinolin-5-on (**20c**)

Aus 2,78 g (25 mmol) **19a** und 8,39 g (30 mmol) **6f** erhält man (24 h, Variante A) 2,67 g (36%) **20c**, farbloser Feststoff mit *F.* 177–178 °C (Essigester). – <sup>1</sup>H-NMR (CDCl<sub>3</sub>/TMS): δ/ppm = 2,03–2,13 [m, 2H, 7-H], 2,47–2,52 [m, 2H, 8-H], 2,95–3,00 [m, 2H, 6-H], 3,16 [s, 6H, N(CH<sub>3</sub>)<sub>2</sub>], 6,14 [s, 1H, 3-H], 7,15, 7,31 [je d, *J* = 8,5 Hz, je 2H, Ar-H]. – <sup>13</sup>C-NMR (CDCl<sub>3</sub>/TMS): δ/ppm = 21,73 [C-7], 34,2 [C-8], 37,75 [N(CH<sub>3</sub>)<sub>2</sub>], 39,67 [C-6], 106,87 [C-3], 116,08 [C-4a], 127,83; 128,0; 133,05; 140,48 [C-Ar], 151,87 [C-4], 158,76 [C-8a], 166,00 [C-2], 196,16 [C-5]. – IR (KBr): ν/cm<sup>-1</sup> = 1660 (CO), 1600, 1590, 1520, 1490 (Ar).

C<sub>17</sub>H<sub>17</sub>N<sub>2</sub>OCl Ber.: C 67,88 H 5,70 N 9,31 Cl 11,79  
(300,79) Gef.: C 67,91 H 5,74 N 9,32 Cl 11,85.

#### 7,7-Dimethyl-2-dimethylamino-5,6,7,8-tetrahydrochinolin-5-on (**20d**)

Die Umsetzung (46 h, Variante B) von 2,78 g (20 mmol) **19b** mit 4,23 g (25 mmol) **6a** liefert 3,29 g (60%) **20d**, schwachgelber Feststoff mit *Kp.* 129 °C/0,005 Torr, *F.* 75–77 °C. – <sup>1</sup>H-NMR (CDCl<sub>3</sub>/TMS): δ/ppm = 1,08 [s, 6H, CH<sub>3</sub>], 2,42 [s, 2H, 8-H], 2,79 [m, 2H, 6-H], 3,17 [s, 6H, N(CH<sub>3</sub>)<sub>2</sub>], 6,41 [d, *J* = 8,9 Hz, 1H, 3-H], 8,01 [d, *J* = 8,9 Hz, 1H, 4-H]. – <sup>13</sup>C-NMR (CDCl<sub>3</sub>/TMS): δ/ppm = 28,39 [CH<sub>3</sub>], 32,82 [C-7], 37,82 [N(CH<sub>3</sub>)<sub>2</sub>], 48,86 [C-8], 51,77 [C-6], 103,98 [C-3], 116,78 [C-4a], 135,73 [C-4], 160,55 [C-8a], 163,20 [C-2], 196,68 [C-5]. – IR (KBr): ν/cm<sup>-1</sup> = 1650 (CO), 1600, 1560, 1510 (Ar). C<sub>13</sub>H<sub>18</sub>N<sub>2</sub>O Ber.: C 71,53 H 8,31 N 12,83  
(218,30) Gef.: C 71,37 H 8,39 N 12,93.

#### 7,7-Dimethyl-2-dimethylamino-4-phenyl-5,6,7,8-tetrahydrochinolin-5-on (**20e**)

3,28 g (25 mmol) **19b** werden mit 7,36 (30 mmol) **6e** 45 h umgesetzt (Variante B). Ausb. 5,50 g (74%) **20e**, schwachgelber Feststoff mit *Kp.* 178 °C/0,003 Torr, *F.* 142–143 °C. – <sup>1</sup>H-NMR (CDCl<sub>3</sub>/TMS): δ/ppm = 1,1 [s, 6H, CH<sub>3</sub>], 2,38 [s, 2H, 8-H], 2,89 [s, 2H, 6-H], 3,16 [s, 6H, N(CH<sub>3</sub>)<sub>2</sub>], 6,18 [s, 1H, 3-H], 7,20–7,39 [m, 5H, Ar-H]. – <sup>13</sup>C-NMR (CDCl<sub>3</sub>/TMS): δ/ppm = 28,28 [CH<sub>3</sub>], 32,26 [C-7], 37,73 [N(CH<sub>3</sub>)<sub>2</sub>], 47,98 [C-8], 53,39 [C-6], 106,78 [C-3], 115,28 [C-4a], 127,07; 127,62; 141,89 [C-Ar], 152,7 [C-4], 159,12 [C-8a], 164,32 [C-2], 196,07 [C-5]. – IR (KBr): ν/cm<sup>-1</sup> = 1670 (CO), 1580, 1540, 1510 (Ar).

C<sub>19</sub>H<sub>22</sub>N<sub>2</sub>O Ber.: C 77,52 H 7,53 N 9,52  
(294,40) Gef.: C 77,51 H 7,55 N 9,55.

#### 4-(*p*-Chlorphenyl)-7,7-dimethyl-2-dimethylamino-5,6,7,8-tetrahydrochinolin-5-on (**20f**)

Aus 3,48 g (25 mmol) **19b** und 8,39 g (30 mmol) **6f** erhält man (24 h, Variante A) 3,51 g (43%) **20f**, farbloser Feststoff mit *F.* 161–162 °C (Essigester). – <sup>1</sup>H-NMR (CDCl<sub>3</sub>/TMS): δ/ppm = 1,09 [s, 6H, CH<sub>3</sub>], 2,37 [s, 2H, 8-H], 2,88 [s, 2H, 6-H], 3,16 [s, 6H, N(CH<sub>3</sub>)<sub>2</sub>], 6,13 [s, 1H, 3-H], 7,15; 7,31 [je d, *J* = 8,5 Hz, 4H, Ar]. – <sup>13</sup>C-NMR (CDCl<sub>3</sub>/TMS): δ/ppm = 28,25 [CH<sub>3</sub>], 32,42 [C-7], 37,75 [N(CH<sub>3</sub>)<sub>2</sub>], 47,95 [C-8], 53,35 [C-6], 106,63 [C-3], 115,04 [C-5], 127,81; 129,07; 133,05; 140,32 [C-Ar], 151,44 [C-4], 159,12 [C-8a], 164,53 [C-2], 196,1 [C-5]. – IR (KBr): ν/cm<sup>-1</sup> = 1660 (CO), 1590, 1520, 1500 (Ar). C<sub>19</sub>H<sub>21</sub>N<sub>2</sub>OCl Ber.: C 69,40 H 6,44 N 8,52 Cl 10,78  
(328,84) Gef.: C 69,22 H 6,53 N 8,46 Cl 10,95.

#### Umsetzung von **6b** mit 3-Amino-cyclohex-2-en-1-on (**19a**)

1,11 g (10 mmol) **19a** werden mit 2,56 g (12 mmol) **6b** 4,5 h umgesetzt und nach Variante B aufgearbeitet. Es werden 1,85 g (79%) eines Gemisches von 2-Dimethylamino-4-methoxy-methyl-5,6,7,8-tetrahydrochinolin-5-on (**20g**) und 4-Dimethylamino-2-methoxymethyl-5,6,7,8-tetrahydrochinolin-5-on (**21a**) mit *Kp.* 130 °C/0,001 Torr, *F.* 77–90 °C im Stoffmengenverhältnis 4:1 erhalten. 1,60 g dieses Gemisches werden säulenchromatographisch über Aluminiumoxid (Akt. III) (Elution mit Petrolether/Essigester 2:1) getrennt. Es werden zunächst 1,10 g (47%) **20g** mit *F.* 81–82 °C und 0,36 g (15%) **21a** mit *F.* 88 °C erhalten.

#### Analytische und spektroskopische und Daten von **20g**

<sup>1</sup>H-NMR (CDCl<sub>3</sub>/TMS): δ/ppm = 2,02–2,09 [m, 2H, 7-H], 2,52–2,57 [m, 2H, 8-H], 2,89–2,94 [m, 2H, 6-H], 3,19 [s, 6H, N(CH<sub>3</sub>)<sub>2</sub>], 3,52 [s, 3H, OCH<sub>3</sub>], 4,87 [d, *J* = 1,2 Hz, 2H, CH<sub>2</sub>O], 6,75 [s, 1H, 3-H]. – <sup>13</sup>C-NMR (CDCl<sub>3</sub>/TMS): δ/ppm = 21,99 [C-7], 34,12 [C-8], 37,76 [N(CH<sub>3</sub>)<sub>2</sub>], 39,93 [C-6], 58,83 [OCH<sub>3</sub>], 73,20 [CH<sub>2</sub>O], 100,52 [C-3], 115,15 [C-4a], 152,23 [C-4], 159,65 [C-8a], 165,85 [C-2], 198,17 [C-5]. – IR (KBr): ν/cm<sup>-1</sup> = 1640 (CO), 1585, 1530, 1500 (Ar).

C<sub>13</sub>H<sub>18</sub>N<sub>2</sub>O<sub>2</sub> Ber.: C 66,64 H 7,74 N 11,96  
(234,30) Gef.: C 66,69 H 7,71 N 11,81.

#### Analytische und spektroskopische und Daten von **21a**

<sup>1</sup>H-NMR (CDCl<sub>3</sub>/TMS): δ/ppm = 2,03–2,13 [m, 2H, 7-H], 2,58–2,64 [m, 2H, 8-H], 2,94–2,99 [m, 8H, N(CH<sub>3</sub>)<sub>2</sub>], 3,49 [s, 3H, OCH<sub>3</sub>], 4,46 [s, 2H, CH<sub>2</sub>O], 6,76 [s, 1H, 3-H]. – <sup>13</sup>C-NMR (CDCl<sub>3</sub>/TMS): δ/ppm = 21,04 [C-7], 34,03 [C-8], 39,47 [C-6], 43,14 [N(CH<sub>3</sub>)<sub>2</sub>], 58,91 [OCH<sub>3</sub>], 75,39 [CH<sub>2</sub>O], 104,56 [C-3], 115,24 [C-4a], 156,9 [C-4], 159,41 [C-8a], 166,28 [C-2], 196,05 [C-5]. – IR (KBr): ν/cm<sup>-1</sup> = 1640 (CO), 1580, 1510 (Ar).

C<sub>13</sub>H<sub>18</sub>N<sub>2</sub>O<sub>2</sub> Ber.: C 66,64 H 7,74 N 11,96  
(234,30) Gef.: C 66,62 H 7,86 N 11,93.

#### Umsetzung von **6b** mit 3-Amino-5,5-dimethyl-cyclohex-2-en-1-on (**19b**)

2,78 g (20 mmol) **19b** werden mit 4,69 g (22 mmol) **6b** 4,5 h umgesetzt und nach Variante B aufgearbeitet. Es werden 4,2 g (80%) eines Gemisches von 7,7-Dimethyl-2-dimethylamino-4-methoxymethyl-5,6,7,8-tetrahydrochinolin-5-on (**20h**) und 7,7-Dimethyl-4-dimethylamino-2-methoxymethyl-

5,6,7,8-tetrahydrochinolin-5-on (**21b**) mit  $K_p$ . 134 °C/0,001 Torr,  $F$ . 78–90 °C im Stoffmengenverhältnis 4:1 erhalten. 4,12 g dieses Gemisches werden säulenchromatographisch über Aluminiumoxid (Akt. III) (Elution mit Petrolether/Essigester 2:1) getrennt. Es werden zunächst 2,8 g (53%) **20h** mit  $F$ . 90 °C und dann 0,89 g (17%) **21b** mit  $F$ . 85–88 °C erhalten.

#### Analytische und spektroskopische Daten von **20h**

<sup>1</sup>H-NMR (CDCl<sub>3</sub>/TMS):  $\delta$ /ppm = 1,07 [s, 6H, CH<sub>3</sub>], 2,40 [s, 2H, 8-H], 2,81 [s, 2H, 6-H], 3,19 [s, 6H, N(CH<sub>3</sub>)<sub>2</sub>], 3,52 [s, 3H, OCH<sub>3</sub>], 4,88 [s, 2H, CH<sub>2</sub>O], 6,75 [s, 1H, 3-H]. – <sup>13</sup>C-NMR (CDCl<sub>3</sub>/TMS):  $\delta$ /ppm = 28,19 [CH<sub>3</sub>], 32,32 [C-7], 37,77 [N(CH<sub>3</sub>)<sub>2</sub>], 47,79 [C-8], 53,46 [C-6], 58,83 [OCH<sub>3</sub>], 73,09 [CH<sub>2</sub>O], 100,24 [C-3], 114,05 [C-4a], 151,82 [C-4], 160,01 [C-8a], 164,40 [C-2], 198,02 [C-5]. – IR (KBr):  $\nu$ /cm<sup>-1</sup> = 1650 (CO), 1590, 1530, 1510 (Ar).

C<sub>15</sub>H<sub>22</sub>N<sub>2</sub>O<sub>2</sub> Ber.: C 68,67 H 8,45 N 10,68  
(262,35) Gef.: C 68,84 H 8,51 N 10,51.

#### Analytische und spektroskopische Daten von **21b**

<sup>1</sup>H-NMR (CDCl<sub>3</sub>/TMS):  $\delta$ /ppm = 1,11 [s, 6H, CH<sub>3</sub>], 2,50 [s, 2H, 8-H], 2,91 [s, 2H, 6-H], 2,96 [s, 6H, N(CH<sub>3</sub>)<sub>2</sub>], 3,49 [s, 3H, OCH<sub>3</sub>], 4,47 [s, 2H, CH<sub>2</sub>O], 6,78 [s, 1H, 3-H]. – <sup>13</sup>C-NMR (CDCl<sub>3</sub>/TMS):  $\delta$ /ppm = 28,26 [CH<sub>3</sub>], 32,35 [C-7], 43,02 [N(CH<sub>3</sub>)<sub>2</sub>], 47,83 [C-8], 53,77 [C-6], 58,92 [OCH<sub>3</sub>], 75,37 [CH<sub>2</sub>O], 104,79 [C-3], 114,49 [C-4a], 151,81 [C-4], 159,69; 164,67 [C-2, C-8a], 196,32 [C-5]. – IR (KBr):  $\nu$ /cm<sup>-1</sup> = 1660 (CO), 1580, 1515, 1495 (Ar).

C<sub>15</sub>H<sub>22</sub>N<sub>2</sub>O<sub>2</sub> Ber.: C 68,67 H 8,45 N 10,68  
(262,35) Gef.: C 68,91 H 8,55 N 10,43.

#### 1,3-Dimethyl-7-dimethylamino-pyrido[2,3-d]pyrimidin-2,4(1H,3H)-dion (**23a**)

5,58 g (36 mmol) **22** werden mit 6,15 g (36 mmol) **6a** 35 h umgesetzt und nach Variante A aufgearbeitet. Ausb. 5,30 g (63%) **23a**, farbloser Feststoff mit  $F$ . 184 °C (Acetonitril). – <sup>1</sup>H-NMR (CDCl<sub>3</sub>/TMS):  $\delta$ /ppm = 3,19 [s, 6H, N(CH<sub>3</sub>)<sub>2</sub>], 3,42; 3,59 [je s, je 3H, NCH<sub>3</sub>], 6,32 [d,  $J$  = 8,9 Hz, 1H, 6-H], 8,05 [d,  $J$  = 8,9 Hz, 1H, 5-H]. – <sup>13</sup>C-NMR (CDCl<sub>3</sub>/TMS):  $\delta$ /ppm = 27,96; 28,95 [NCH<sub>3</sub>], 38,00 [N(CH<sub>3</sub>)<sub>2</sub>], 98,90 [C-4a], 101,45 [C-6], 137,68 [C-5], 151,02 [C-2], 152,16 [C-8a], 160,47 [C-7], 161,42 [C-4]. – IR (KBr):  $\nu$ /cm<sup>-1</sup> = 1690 (C=O), 1610, 1580, 1530 (Ar).

C<sub>11</sub>H<sub>14</sub>N<sub>4</sub>O<sub>2</sub> Ber.: C 56,40 H 6,02 N 23,92  
(234,26) Gef.: C 56,19 H 5,99 N 24,17.

#### 1,3-Dimethyl-7-dimethylamino-5-methoxymethyl-pyrido[2,3-d]pyrimidin-2,4(1H,3H)-dion (**23b**)

Aus 5,23 g (34 mmol) **22** und 8,30 g (39 mmol) **6b** erhält man (1,5 h, Variante A) 5,06 g (54%) **23b**, farbloser Feststoff mit  $F$ . 190 °C (Acetonitril). – <sup>1</sup>H-NMR (CDCl<sub>3</sub>/TMS):  $\delta$ /ppm = 3,19 [s, 6H, N(CH<sub>3</sub>)<sub>2</sub>], 3,37; 3,54 [je s, je 3H, NCH<sub>3</sub>], 3,58 [s, 3H, OCH<sub>3</sub>], 4,93 [s, 2H, CH<sub>2</sub>O], 6,61 [s, 1H, 6-H]. – <sup>13</sup>C-NMR (CDCl<sub>3</sub>/TMS):  $\delta$ /ppm = 27,76; 29,52 [NCH<sub>3</sub>], 37,93 [N(CH<sub>3</sub>)<sub>2</sub>], 58,90 [OCH<sub>3</sub>], 72,48 [CH<sub>2</sub>O], 96,01 [C-4a], 97,95 [C-6], 151,84 [C-2], 152,16 [C-5, C-8a], 159,67 [C-7], 161,47 [C-4]. – IR (KBr):  $\nu$ /cm<sup>-1</sup> = 1700, 1600 (C=O), 1610, 1560, 1535 (Ar).

C<sub>13</sub>H<sub>18</sub>N<sub>4</sub>O<sub>3</sub> Ber.: C 56,10 H 6,52 N 20,13  
(278,31) Gef.: C 56,30 H 6,63 N 20,17.

#### Umsetzung von **6e** mit 6-Amino-1,3-dimethyluracil (22)

4,03 g (26 mmol) **22** werden mit 7,36 g (30 mmol) **6e** 69 h umgesetzt und nach Variante A aufgearbeitet. Es wird ein Gemisch aus 1,3-Dimethyl-7-dimethylamino-5-phenyl-pyrido[2,3-d]pyrimidin-2,4(1H,3H)-dion (**23c**) und 1,3-Dimethyl-5-dimethylamino-7-phenyl-pyrido[2,3-d]pyrimidin-2,4(1H,3H)-dion (**24a**) mit  $F$ . 149–152 °C (Acetonitril) im Stoffmengenverhältnis 3:1 erhalten. Ausb. 6,00 g (75%).

C<sub>17</sub>H<sub>18</sub>N<sub>4</sub>O<sub>2</sub> Ber.: C 65,79 H 5,85 N 18,05  
(310,36) Gef.: C 65,94 H 5,94 N 18,25.

#### Umsetzung von **6f** mit 6-Amino-1,3-dimethyluracil (22)

Die Reaktion von 3,88 g (25 mmol) **22** mit 8,39 g (30 mmol) **6f** (24 h, Variante A) ergibt ein Gemisch aus 5-(*p*-Chlorphenyl)-1,3-dimethyl-7-dimethylamino-pyrido[2,3-d]pyrimidin-2,4(1H,3H)-dion (**23d**) und 7-(*p*-Chlorphenyl)-1,3-dimethyl-5-dimethylamino-pyrido[2,3-d]pyrimidin-2,4(1H,3H)-dion (**24b**) im Stoffmengenverhältnis 3:1 mit  $F$ . teilweise 198–199 °C und 215–216 °C (Essigester/Acetonitril 1:2). Ausb. 6,96 g (81%).

C<sub>17</sub>H<sub>17</sub>N<sub>4</sub>O<sub>2</sub>Cl Ber.: C 59,22 H 4,97 N 16,25 Cl 10,28  
(344,80) Gef.: C 59,07 H 5,03 N 16,35 Cl 10,30.

#### Trennung der Isomeren (**23c/24a**)

Zu 3,09 g (10 mmol) des Gemisches aus **23c/24a** in 40 ml Acetanhydrid werden 1,67 g (10 mmol) 60%-ige Perchlorsäure bei 0 °C zugetropft. Es wird noch 1 h bei RT gerührt. Anschließend werden 40 ml Diethylether zugegeben. Der entstandene Niederschlag wird abfiltriert, mit 50 ml Acetonitril 10 min unter Rückfluß erhitzt und heiß abfiltriert. Bei dem so erhaltenen farblosen Feststoff handelt es sich um 1,3-Dimethyl-5-dimethylamino-7-phenyl-pyrido[2,3-d]pyrimidin-2,4(1H,3H)-dion-8-iium-perchlorat (**26a**) mit  $F$ . 296 °C. Ausb. 1,30 g (32%).

C<sub>17</sub>H<sub>19</sub>N<sub>4</sub>O<sub>6</sub>Cl Ber.: C 49,70 H 4,66 N 13,64 Cl 8,63  
(410,80) Gef.: C 49,55 H 4,74 N 13,59 Cl 8,58.

Aufgrund der Schwerlöslichkeit von **26a** in allen zur Verfügung stehenden Lösungsmitteln ([d6]-Aceton, [d3]-Acetonitril, [d6]-Benzol, Deuterochloroform, [d6]-DMSO, Deutero-trifluoroessigsäure) konnte kein NMR-Spektrum aufgenommen werden. – IR (KBr):  $\nu$ /cm<sup>-1</sup> = 1720 (C=O), 1690, 1620, 1580 (Ar). Aus dem Filtrat kristallisiert 1,3-Dimethyl-7-dimethylamino-5-phenyl-pyrido[2,3-d]pyrimidin-2,4(1H,3H)-dion-8-iium-perchlorat (**25a**) als farbloser Feststoff  $F$ . 232 °C aus. Ausb. 2,42 g (59%). – <sup>1</sup>H-NMR (CD<sub>3</sub>CN/TMS):  $\delta$ /ppm = 3,36 [s, 6H, N(CH<sub>3</sub>)<sub>2</sub>], 3,21, 3,74 [je s, je 3H, NCH<sub>3</sub>], 6,60 [s, 1H, 6-H], 7,32–7,46 [m, 5H, ArH]. – <sup>13</sup>C-NMR (CD<sub>3</sub>CN/TMS):  $\delta$ /ppm = 28,88; 30,78 [NCH<sub>3</sub>], 41,23 [N(CH<sub>3</sub>)<sub>2</sub>], 99,94 [C-4a], 108,45 [C-6], 128,67; 128,78; 129,71; 139,32 [C-Ar], 149,05 [C-5], 151,00 [C-2], 153,33 [C-8a], 158,57 [C-7], 159,2 [C-4]. – IR (KBr):  $\nu$ /cm<sup>-1</sup> = 3390 (NH), 1720, 1690 (C=O), 1650, 1620, 1580 (Ar).

C<sub>17</sub>H<sub>19</sub>N<sub>4</sub>O<sub>6</sub>Cl Ber.: C 49,70 H 4,66 N 13,64 Cl 8,63  
(410,80) Gef.: C 49,83 H 4,67 N 13,65 Cl 8,36.

#### Deprotonierung der Salze **25a** und **26a**

Zu 0,1 g (2,4 mmol) Natriumhydrid (60%-ig in Weißöl) in

10 ml THF werden 0,08 g (2,4 mmol) Methanol zugetropft. Es wird kurz aufgekocht. Nach dem Abkühlen wird 1,00 g (2,4 mmol) **26a** bei 0 °C zugegeben und 30 min bei Raumtemp. gerührt. Das Lösungsmittel wird am Rotationsverdampfer entfernt, der Rückstand in 20 ml Wasser aufgenommen und abfiltriert. Der erhaltene Niederschlag wird aus Essigester umkristallisiert. **24a** wird als farbloser Feststoff mit F. 186 °C erhalten. Ausb. 0,40 g (53%). – <sup>1</sup>H-NMR (CDCl<sub>3</sub>/TMS): δ/ppm = 3,08 [s, 6H, N(CH<sub>3</sub>)<sub>2</sub>], 3,45, 3,75 [je s, je 3H, NCH<sub>3</sub>], 6,97 [s, 1H, 6-H], 7,45–7,48 [m, 3H, Ar-H], 8,01–8,05 [m, 2H, Ar-H]. – <sup>13</sup>C-NMR (CDCl<sub>3</sub>/TMS): δ/ppm = 28,38; 30,06 [NCH<sub>3</sub>], 43,76 [N(CH<sub>3</sub>)<sub>2</sub>], 97,15 [C-4a], 102,42 [C-6], 127,19; 128,64; 129,92; 138,5 [C-Ar], 151,76 [C-2], 153,61 [C-5], 158,04 [s, C-7], 159,77; 159,98 [C-8a, C-4]. – IR (KBr): ν/cm<sup>-1</sup> = 1690, 1670, (C=O), 1590, 1580, 1540 (Ar).

C<sub>17</sub>H<sub>18</sub>N<sub>4</sub>O<sub>2</sub> Ber.: C 65,79 H 5,85 N 18,05  
(310,36) Gef.: C 65,80 H 5,91 N 18,15.

2,00 g (4,9 mmol) **25a** werden wie vorstehend bei der Deprotonierung von **26a** beschrieben mit 0,2 g (4,9 mmol) Natriumhydrid (60%-ig in Weißöl) und 0,16 g (4,9 mmol) Methanol umgesetzt. **23c** wird als farbloser Feststoff mit F. 184–185 °C (Essigester) erhalten. Ausb. 0,96 g (63%). – <sup>1</sup>H-NMR (CDCl<sub>3</sub>/TMS): δ/ppm = 3,19 [s, 6H, N(CH<sub>3</sub>)<sub>2</sub>], 3,31, 3,68 [je s, je 3H, NCH<sub>3</sub>], 6,14 [s, 1H, 6-H], 7,25–7,34 [m, 2H, Ar-H], 7,37–7,43 [m, 3H, Ar-H]. – <sup>13</sup>C-NMR (CDCl<sub>3</sub>/TMS): δ/ppm = 27,98; 29,69 [NCH<sub>3</sub>], 37,92 [N(CH<sub>3</sub>)<sub>2</sub>], 97,28 [C-4a], 104,45 [C-6], 127,56; 127,7; 140,68 [C-Ar], 152,05; 152,19 [C-5, C-2], 154,54 [C-8a], 158,83 [C-7], 160,52 [C-4]. – IR (KBr): ν/cm<sup>-1</sup> = 1700 (C=O), 1650, 1600, 1550, 1500 (Ar).

C<sub>17</sub>H<sub>18</sub>N<sub>4</sub>O<sub>2</sub> Ber.: C 65,79 H 5,85 N 18,05  
(310,36) Gef.: C 65,69 H 5,83 N 17,95.

### Trennung der Isomeren (23d/24b)

Zu einer Suspension von 4,46 (12,9 mmol) des Gemisches aus **23d/24b** in 100 ml Diethylether werden 2,10 g (12,9 mmol) HBF<sub>4</sub> (54%-ig in Diethylether) zugetropft. Es wird 20 h bei Raumtemp. gerührt. Der Niederschlag wird abfiltriert, mit Ether gewaschen und anschließend mit 100 ml Acetonitril aufgekocht. Es wird heiß abfiltriert und mit Diethylether gewaschen. Der Filterkuchen ergibt 1,15 g 7-(p-Chlorphenyl)-1,3-dimethyl-5-dimethylamino-pyrido[2,3-d]pyrimidin-2,4(1H, 3H)-dion-8-iium-tetrafluoroborat (**26b**) mit F. >300 °C. Durch Einengen des Filtrats werden 3,88 g 5-(p-Chlorphenyl)-1,3-dimethyl-7-dimethylamino-pyrido[2,3-d]pyrimidin-2,4(1H, 3H)-dion-8-iium-tetrafluoroborat (**25b**) mit F. 242 °C erhalten. Wegen der Schwerlöslichkeit der Salze wurde auf eine NMR-spektroskopische Untersuchung verzichtet.

### Deprotonierung von **25b** und **26b**

Zu einer Suspension von 0,12 g (3,0 mmol) Natriumhydrid (60%-ig in Weißöl) in 20 ml THF werden 0,11 g (3,0 mmol) Methanol zugegeben. Es wird kurz aufgekocht. Nach dem Erkalten werden 1,15 g (2,9 mmol) **26b** zugegeben. Die Reaktionsmischung wird nochmals kurz zum Sieden erhitzt. Das Lösungsmittel wird am Rotationsverdampfer entfernt und der Rückstand in 40 ml Methylenechlorid aufgenommen. Es wird 3 mal mit 20 ml Wasser extrahiert. Die organische Phase wird mit Natriumsulfat getrocknet. Anschließend wird das Lösungs-

mittel am Rotationsverdampfer entfernt und der Rückstand aus Acetonitril umkristallisiert. **24b** wird als farbloser Feststoff mit F. 222–223 °C erhalten. Ausb. 0,80 g (80%). – <sup>1</sup>H-NMR (CDCl<sub>3</sub>/TMS): δ/ppm = 3,09 [s, 6H, N(CH<sub>3</sub>)<sub>2</sub>], 3,45; 3,73 [je s, je 3H, NCH<sub>3</sub>], 6,92 [s, 1H, 6-H], 7,41–7,44; 7,95–7,99 [je m, je 2H, Ar-H]. – <sup>13</sup>C-NMR (CDCl<sub>3</sub>/TMS): δ/ppm = 28,40; 30,06 [NCH<sub>3</sub>], 43,77 [N(CH<sub>3</sub>)<sub>2</sub>], 97,1 [C-4a], 102,12 [C-6], 128,45; 128,80; 135,98; 136,88 [C-Ar], 151,68 [C-2], 153,61 [C-5], 156,65 [C-7], 159,70 [C-8a], 159,87 [C-4]. – IR (KBr): ν/cm<sup>-1</sup> = 1690 (C=O), 1650, 1610, 1590, 1570, 1535, 1490 (Ar).

C<sub>17</sub>H<sub>17</sub>N<sub>4</sub>O<sub>2</sub>Cl Ber.: C 59,22 H 4,97 N 16,25 Cl 10,28 (344,80) Gef.: C 58,95 H 5,05 N 16,09 Cl 10,37.

3,88 g (9,77 mmol) **25b** werden wie vorstehend bei der Deprotonierung von **26b** beschrieben mit 0,39 g (9,8 mmol) Natriumhydrid (60%-ig in Weißöl) und 0,31 g (9,8 mmol) Methanol umgesetzt. Es werden 2,7 g (80%) **23d** mit F. 236–237 °C (Acetonitril) und durch Eindampfen des Filtrats 0,35 g (10%) eines Gemisches **23d/24b** (F. 195–230 °C) erhalten. – <sup>1</sup>H-NMR (CDCl<sub>3</sub>/TMS): δ/ppm = 3,20 [s, 6H, N(CH<sub>3</sub>)<sub>2</sub>], 3,32; 3,68 [je s, je 3H, NCH<sub>3</sub>], 6,10 [s, 1H, 6-H], 7,20–7,25; 7,34–7,4 [je m, je 2H, Ar-H]. – <sup>13</sup>C-NMR (CDCl<sub>3</sub>/TMS): δ/ppm = 27,97; 29,72 [NCH<sub>3</sub>], 37,95 [N(CH<sub>3</sub>)<sub>2</sub>], 97,02 [C-4a], 104,34 [C-6], 127,76; 129,2; 133,60; 139,03 [C-Ar], 151,93 [C-5], 152,24 [C-2], 153,22 [C-8a], 158,82 [C-7], 160,54 [C-4]. – IR (KBr): ν/cm<sup>-1</sup> = 1690 (C=O), 1650, 1600, 1530, 1490 (Ar).

C<sub>17</sub>H<sub>17</sub>N<sub>4</sub>O<sub>2</sub>Cl Ber.: C 59,22 H 4,97 N 16,25 Cl 10,28 (344,80) Gef.: C 59,01 H 5,00 N 16,13 Cl 10,29.

### 7-Dimethylamino-1,3,5-trimethyl-1,2,3,4-tetrahydropyrido[2,3-d]pyrimidin-6-carbonitril (27)

Eine Mischung aus 1,55 g (10 mmol) **22** und 1,95 g (10 mmol) **16** in 5 ml trockenem N,N-Dimethylformamid wird unter Rühren 3 h auf 130 °C erhitzt. Die sich beim Abkühlen abscheidenden Kristalle werden abgesaugt und sorgfältig nacheinander mit N,N-Dimethylformamid, Methanol und Ether gewaschen. Ausb. 1,86 g (68%) **27**, fahlorangefarbene Kristalle mit F. 209–211 °C (DMF). – <sup>1</sup>H-NMR (250 MHz, CDCl<sub>3</sub>/TMS): δ/ppm = 2,66 [s, 3H, C-CH<sub>3</sub>], 3,23 [s, 6H, N(CH<sub>3</sub>)<sub>2</sub>], 3,41 und 3,65 [je s, 6H, N-CH<sub>3</sub>]. – MS (70 eV): m/z (%) = 273 (40; M<sup>+</sup>), 258 (100; M<sup>+</sup>-CH<sub>3</sub>), 244 (37), 216 (8), 201 (13).

C<sub>13</sub>H<sub>15</sub>N<sub>5</sub>O<sub>2</sub> Ber.: C 57,13 H 5,53 N 25,63 (273,29) Gef.: C 56,99 H 5,58 N 25,55.

### 2,3-Dihydro-6-dimethylamino-2-phenyl-3-oxo-1H-pyrazolo[3,4-b]pyridin (30a)

Zu 3,50 g (20 mmol) **28** in 30 ml Diethylether werden 3,39 (20 mmol) **6a** in 20 ml Ether zugetropft und 3 h bei Raumtemp. gerührt. Der entstandene orange Feststoff (unreines **30a**) wird abgesaugt, mit Essigester und Ether gewaschen und 1 h im Wasserstrahlpumpenvakuum auf 155 °C (Ölbadtemperatur) erhitzt. Nach Umkristallisation aus Acetonitril/DMSO (5:1) wird **30a** als schwachbeiger Feststoff mit F. 281–282 °C (Zers.) erhalten. Ausb. 4,42 g (87%). – <sup>1</sup>H-NMR ([d<sub>6</sub>]-DMSO/TMS): δ/ppm = 3,14 [s, 6H, N(CH<sub>3</sub>)<sub>2</sub>], 6,51 [d, J = 8,5 Hz, 1H, 5-H], 7,12–7,18 [m, 1H, Ar-H], 7,40–7,46; 7,76–7,84 [je m, je 2H, Ar-H], 7,82 [d, J = 8,5 Hz, 1H, 4-H], 10,78 [bs,

1H, NH]. –  $^{13}\text{C}$ -NMR ([d<sub>6</sub>]-DMSO/TMS):  $\delta/\text{ppm} = 37,87$  [N(CH<sub>3</sub>)<sub>2</sub>], 98,46 [C-3a], 102,30 [C-5], 118,30; 123,7; 128,71; 133,06 [C-4], 138,09 [C-Ar], 158,82 [C-7a], 159,9 [C-6], 161,05 [C-3]. – IR (KBr):  $\nu/\text{cm}^{-1} = 2990$  (NH), 1620 (CO), 1600, 1580, 1540, 1495 (Ar).  
 $\text{C}_{14}\text{H}_{14}\text{N}_4\text{O}$  Ber.: C 66,13 H 5,55 N 22,03  
 (254,29) Gef.: C 65,89 H 5,60 N 22,26.

**2,3-Dihydro-6-dimethylamino-4-methoxymethyl-2-phenyl-3-oxo-1H-pyrazolo[3,4-b]pyridin (30b)**

Zu 1,75 g (10 mmol) **28** in 30 ml Ether werden 2,35 g (11 mmol) **6b** in 20 ml Ether zugetropft und 3 h bei Raumtemp. gerührt. Der entstandene orange Feststoff wird abgesaugt, mit Ether gewaschen und 1 h im Wasserstrahlpumpenvakuum auf 115 °C (Ölbadtemperatur) erhitzt. Nach Umkristallisation aus Acetonitril werden 2,28 g (76%) **30b**, schwach-farbiger Feststoff mit F. 219–220 °C (Zers.), erhalten. –  $^1\text{H}$ -NMR ([d<sub>6</sub>]-DMSO/TMS):  $\delta/\text{ppm} = 3,13$  [s, 6H, N(CH<sub>3</sub>)<sub>2</sub>], 3,42 [s, 3H, OCH<sub>3</sub>], 4,79 [s, 2H, CH<sub>2</sub>O], 6,43 [s, 1H, 5-H], 7,11–7,17 [m, 1H, ArH], 7,39–7,45; 7,78–7,81 [je m, je 2H, ArH], 10,76 [bs, 1H, NH]. –  $^{13}\text{C}$ -NMR (CDCl<sub>3</sub>/TMS):  $\delta/\text{ppm} = 38,49$  [N(CH<sub>3</sub>)<sub>2</sub>], 59,02 [OCH<sub>3</sub>], 69,62 [CH<sub>2</sub>O], 97,47 [C-3a], 99,23 [C-5], 118,11; 124,39; 128,99; 138,17 [C-Ar], 148,82 [C-4], 159,89 [C-7a], 161,29 [C-6], 161,71 [C-3]. – IR (KBr):  $\nu/\text{cm}^{-1} = 3060$  (NH), 1640 (CO), 1620, 1590, 1540, 1495 (Ar).  
 $\text{C}_{16}\text{H}_{18}\text{N}_4\text{O}_2$  Ber.: C 64,41 H 6,08 N 18,78  
 (330,39) Gef.: C 64,19 H 6,17 N 18,56.

**2,3-Dihydro-6-dimethylamino-2,4-diphenyl-3-oxo-1H-pyrazolo[3,4-b]pyridin (30c)**

Zu 3,50 g (20 mmol) **28** in 30 ml Ether werden 4,91 g (20 mmol) **6e** in 20 ml Ether zugetropft und 3,5 h bei Raumtemp. gerührt. Der entstandene orange Feststoff (rohes **29c**) wird abgesaugt und mit Essigester und Ether gewaschen und 1 h im Wasserstrahlpumpenvakuum auf 180 °C (Ölbadtemperatur) erhitzt. Nach Umkristallisation aus Acetonitril/DMSO (5:1) wird 5,28 g (80%) **30c**, schwach gelber Feststoff mit F. 266–267 °C (Zers.), erhalten. –  $^1\text{H}$ -NMR ([d<sub>6</sub>]-DMSO/TMS):  $\delta/\text{ppm} = 3,18$  [s, 6H, N(CH<sub>3</sub>)<sub>2</sub>], 6,42 [s, 1H, 5-H], 7,12–7,18 [m, 1H, ArH], 7,39–7,47 [m, 5H, ArH], 7,75–7,85 [m, 4H, ArH], 10,89 [bs, 1H, NH]. –  $^{13}\text{C}$ -NMR (CDCl<sub>3</sub>/TMS):  $\delta/\text{ppm} = 37,92$  [N(CH<sub>3</sub>)<sub>2</sub>], 95,19 [C-3a], 102,27 [C-5], 118,61; 123,70; 127,68; 128,64; 129,23; 135,82; 138,16 [C-Ar], 149,05 [C-4], 159,43 [C-7a], 159,85 [C-6], 160,8 [C-3]. – IR (KBr):  $\nu/\text{cm}^{-1} = 3130$  (NH), 1650 (CO), 1610, 1585, 1570, 1560, 1535, 1495 (Ar).

$\text{C}_{20}\text{H}_{18}\text{N}_4\text{O}$  Ber.: C 72,71 H 5,49 N 16,96  
 (330,39) Gef.: C 72,56 H 5,50 N 16,99.

**4-(p-Chlorphenyl)-2,3-dihydro-6-dimethylamino-2-phenyl-3-oxo-1H-pyrazolo[3,4-b]pyridin (30d)**

0,88 g (5 mmol) **28** in 50 ml Ether werden mit 1,40 g (5,0 mmol) **6f** in 20 ml Ether wie bei **30c** beschrieben umgesetzt. Nach 1-stündiger Thermolyse im Wasserstrahlpumpenvakuum auf 140 °C (Ölbadtemperatur) und Umkristallisation aus Acetonitril/DMSO (5:1) erhält man 0,77 g (42%) **30d**, schwachbeiger Feststoff mit F. >300. –  $^1\text{H}$ -NMR ([d<sub>6</sub>]-DMSO/TMS):  $\delta/\text{ppm} = 3,19$  [s, 6H, N(CH<sub>3</sub>)<sub>2</sub>], 6,44 [s, 1H, 5-H], 7,12–7,18 [m, 1H, ArH], 7,38–7,45; 7,50–7,54 [je m, je 2H, ArH], 7,77–7,82 [m, 4H, ArH], 10,89 [bs, 1H, NH]. – IR (KBr):  $\nu/\text{cm}^{-1} = 3260$  (NH), 1675 (CO), 1600, 1570, 1550,

1530, 1490 (Ar).  
 $\text{C}_{20}\text{H}_{17}\text{N}_4\text{OCl}$  Ber.: C 65,85 H 4,70 N 15,36 Cl 9,72  
 (364,84) Gef.: C 65,99 H 4,62 N 15,30 Cl 9,67.

**1,3-Dihydro-4-dimethylamino-1,6-diphenyl-3-oxo-2H-pyrazolo[3,4-b]pyridin (32a)**

1,75 g (10 mmol) **31** und 2,45 g (10 mmol) **6e** werden in 30 ml THF 3 h unter Rückfluß erhitzt. Das Reaktionsgemisch wird am Rotationsverdampfer vom Lösungsmittel befreit und der Rückstand mit 30 ml Essigester/Acetonitril (3:1) aufgekocht. Nach dem Erkalten wird der entstandene Feststoff abgesaugt, mit Essigester und Ether gewaschen. Ausb. 1,23 g (37%) **32a**, schwach-farbiger Feststoff mit F. 243 °C (Zers.). –  $^1\text{H}$ -NMR ([d<sub>6</sub>]-DMSO/TMS):  $\delta/\text{ppm} = 3,26$  [s, 6H, N(CH<sub>3</sub>)<sub>2</sub>], 6,83 [s, 1H, 5-H], 7,17–7,23 [m, 1H, ArH], 7,50–7,52 [m, 2H, ArH], 8,16–8,18; 8,34–8,37 [je m, je 2H, ArH], 11,63 [bs, 1H, NH]. –  $^{13}\text{C}$ -NMR ([d<sub>6</sub>]-DMSO/TMS):  $\delta/\text{ppm} = 42,23$  [N(CH<sub>3</sub>)<sub>2</sub>], 94,76 [C-3a], 97,7 [C-5], 119,38; 123,63; 127,01, 128,5; 128,73; 129,03; 139,34, 139,82 [C-Ar], 153,24 [C-4], 153,56, 153,72 [C-6, C-7a], 156,53 [C-3]. – IR (KBr):  $\nu/\text{cm}^{-1} = 1600$  (CO), 1560, 1495 (Ar).  
 $\text{C}_{20}\text{H}_{18}\text{N}_4\text{O}$  Ber.: C 72,71 H 5,49 N 16,96  
 (330,39) Gef.: C 72,78 H 5,60 N 16,96.

**6-(p-Chlorphenyl)-1,3-dihydro-4-dimethylamino-1-phenyl-3-oxo-2H-pyrazolo[3,4-b]pyridin (32b)**

0,23 g (1,3 mmol) **31** und 0,37 g (1,3 mmol) **6f** werden in 20 ml THF 18 h unter Rückfluß erhitzt. Das Reaktionsgemisch wird am Rotationsverdampfer vom Lösungsmittel befreit und der Rückstand mit 30 ml Essigester/Acetonitril (10:1) aufgekocht. Nach dem Erkalten wird der entstandene Feststoff abgesaugt, mit Essigester und Ether gewaschen. Ausb. 0,18 g (38%) **32b**, schwachbeiger Feststoff mit F. 292 °C (Zers.). –  $^1\text{H}$ -NMR ([d<sub>6</sub>]-DMSO/TMS):  $\delta/\text{ppm} = 3,26$  [s, 6H, N(CH<sub>3</sub>)<sub>2</sub>], 6,81 [s, 1H, 5-H], 7,16–7,22 [m, 1H, ArH], 7,47–7,58 [m, 4H, ArH], 8,16–8,22; 8,28–8,31 [je m, je 2H, ArH], 11,0 [bs, 1H, NH]. –  $^{13}\text{C}$ -NMR ([d<sub>6</sub>]-DMSO/TMS):  $\delta/\text{ppm} = 42,26$  [N(CH<sub>3</sub>)<sub>2</sub>], 97,54 [C-5], 119,44; 123,66; 128,47; 128,72; 133,81; 138,12; 139,74 [C-Ar], 153,1 [C-4], 153,76 [C-6, C-7a], 155,07 [C-3]. – IR (KBr):  $\nu/\text{cm}^{-1} = 1590$  (CO), 1560, 1540, 1490 (Ar).  
 $\text{C}_{20}\text{H}_{17}\text{N}_4\text{OCl}$  Ber.: C 65,84 H 4,70 N 15,36 Cl 9,72  
 (364,84) Gef.: C 65,50 H 4,62 N 15,11 Cl 9,91.

## References

- [1] Orthoamide. L: M.Kiesel, E.Haug, W.Kantlehner, J. Prakt. Chem./Chemiker Ztg. **1997**, 339, 159
- [2] W. Kantlehner, P. Speh, H.-J. Lehmann, H.-J. Bräuner, E. Haug, W. W. Mergen, Chemiker Ztg. **1990**, 114, 176
- [3] a) K. H. Schlingensief, K. Hartke, Arch. Pharm. (Weinheim) **1978**, 311, 36; b) V. G. Granik, A. M. Zhidkova, R. A. Dubinskii, Khim. Geterotsikl. Soedin. **1982**, 518; Chem. Heterocycl. Comp. **1982**, 395; Chem. Abstr. **1982**, 97, 55765m; c) N. B. Marchenko, V. G. Granik, Khim. Geterotsikl. Soedin. **1982**, 68; Chem. Heterocycl. Comp. **1982**, 58; Chem. Abstr. **96** (1982) 142795u; d) V. G. Granik, S. I. Grizik, N. P. Solov'eva, O. S. Anisina, Yu. N. Sheinker, Zh. Org. Khim. **20** (1984) 673; J. Org. Chem. UdSSR **1984**, 20, 613; e) L. V. Ershov, V. G. Granik, Khim. Geterotsikl. Soedin. **1985**, 646; Chem. Heterocycl. Comp. **1985**, 544.; Chem. Abstr. **1985**,

- [103, 178221f; f) E. N. Dozorova, N. P. Solov'eva, V. G. Granik, Khim. Geterotsikl. Soedin. **1988**, 1109; J. Heterocycl. Comp. **1988**, 914; Chem. Abstr. **1989**, 110, 192759p; g) P. Köckritz, R. Sattler, J. Liebscher, J. Prakt. Chem. **1985**, 327, 56; h) P. Köckritz, L. Schmidt, J. Liebscher, J. Prakt. Chem. **1987**, 329, 13; i) M. Michalik, K. Zahn, P. Köckritz, J. Liebscher, J. Prakt. Chem. **1989**, 331, 1; j) Zh. A. Krasnaya, T. S. Stytsenko, V. S. Bogdanov, A. S. Dvornikov, Khim. Geterotsikl. Soedin. **1988**, 1325; Chem. Heterocycl. Comp. **1988**, 1095 und dort zitierte Arbeiten; Chem. Abstr. **1989**, 111, 133455j
- [4] a) R. Gompper, W. Elser, Liebigs Ann. Chem. **1969**, 725, 73; b) K. Peseke, Z. Chem. **1977**, 17, 288; c) K. Peseke, M. Michalik, K. Görge, Z. Chem. **1984**, 24, 327; d) K. Peseke, G. Heide, H. Feist, M. Michalik, J. Prakt. Chem. **1991**, 333, 119; e) J.-M. Catel, Y. Mollier, Bull. Soc. Chim. Fr. **1981**, II-113-II-124; f) E. Schaumann, S. Fittkau, Bull. Soc. Chim. Belg. **1985**, 94, 463; g) A. K. Gupta, H. Ila, H. Junjappa, Tetrahedron Lett. **1988**, 29, 6663; h) S. Apparao, A. Datta, H. Ila, H. Junjappa, Synthesis **1985**, 171; i) M. Hojo, R. Masuda, E. Okade, Synthesis **1991**, 46
- [5] M. Kussler, H. Balli, Helv. Chim. Acta **1989**, 72, 17
- [6] K. Peseke, K. Zahn, M. Michalik, J. Prakt. Chem./Chemiker Ztg. **1994**, 336, 357
- [7] H. Böhme, G. Ahrens, Liebigs Ann. Chem. **1982**, 1030
- [8] W. Kantlehner, I. C. Ivanov, W. W. Mergen, H. Bredereck, Liebigs Ann. Chem. **1980**, 372
- [9] H. Schubert, M. Regitz, Angew. Chem. **1983**, 95, 564; Angew. Chem. Int. Ed. Engl. **1983**, 22, 553, H. Schubert, M. Regitz, Angew. Chem. Suppl. **1983**, 726
- [10] H. Schubert, I. Bast, M. Regitz, Synthesis **1983**, 661
- [11] D. Bouvy, Z. Janousek, H. G. Viehe, Bull. Soc. Chim. Belg. **1993**, 102, 129
- [12] D. Bouvy, Z. Janousek, H. G. Viehe, B. Tinant, J.-P. Declercq, Tetrahedron Lett., **1993**, 34, 1779
- [13] B. Tinant, J.-P. Declercq, D. Bouvy, Z. Janousek, H. G. Viehe, J. Chem. Soc., Perkin Trans. 2 **1993**, 911
- [14] a) A. K. Shanaazarov, V. V. Chistyakov, V. G. Granik, Khim. Geterotsikl. Soedin. **1986**, 127; Chem. Heterocycl. Comp. **1986**, 106; Chem. Abstr. **1986**, 105, 208495j; b) V. G. Granik, A. K. Shanaazarov, N. P. Solov'eva, V. V. Chistyakov, I. V. Persianova, Yu. N. Sheinker, Khim. Geterotsikl. Soedin. **1987**, 1470; Chem. Heterocycl. Comp. **1988**, 1171; Chem. Abstr. **1988**, 109, 6384u
- [15] M. I. Cocco, C. Congiu, A. Maccioni, J. Heterocycl. Chem. **1990**, 27, 1143
- [16] R. Stieglitz, Dissertation, Universität Stuttgart 1993
- [17] W. Kantlehner, E. Haug, H. Hagen, Liebigs Ann. Chem. **1982**, 298
- [18] H. Weingarten, Tetrahedron **1968**, 24, 2767
- [19] V. G. Granik, N. B. Marchenko, E. O. Sochneva, R. G. Gluskhov, T. F. Vlasova, Yu. N. Sheinker, Khim. Geterotsikl. Soedin. **1976**, 805; Chem. Abstr. **1976**, 85, 108568k
- [20] L. Golic, C. Stropnik, B. Stanovnik, M. Tisler, Heterocycles **1987**, 25, 347
- [21] E. B. Walsh, H. Wamhoff, Chem. Ber. **1989**, 122, 1673
- [22] W. Kantlehner, H. Jaus, L. Kienitz, H. Bredereck, Liebigs Ann. Chem. **1979**, 2096
- [23] R. Troschütz, J. Troschütz, M. Söllhuber-Kretzer, Arch. Pharm. (Weinheim, Ger.) **1985**, 318, 777
- [24] H. Yamanaka, K. Komatsu, K. Tanji, S. Ogawa, S. Kono, M. Mizuaki, Yakugaku Zasshi **1979**, 99, 342; Chem. Abstr. **91** (1979) 175289g
- [25] I. Ivanov, L. Raev, P. Sulai, Farmatsiya (Sofia) **1984**, 34, 14; Chem. Abstr. **1984**, 101, 130533r
- [26] M. T. Cocco, C. Congiu, A. Maccioni, J. Heterocycl. Chem. **1990**, 27, 1143
- [27] M. T. Cocco, C. Congiu, A. Maccioni, V. Onnis, Synthesis **1992**, 371
- [28] H. Mertens, R. Troschütz, Arch. Pharm. (Weinheim, Ger.) **1986**, 319, 947; Chem. Abstr. **1986**, 106, 102049
- [29] M. Muraoka, T. Yamamoto, K. Enomoto, T. Takeshima, J. Chem. Soc., Perkin Trans. 1 **1989**, 1241
- [30] H. Bredereck, G. Simchen, R. Wahl, F. Effenberger, Chem. Ber. **1968**, 101, 512
- [31] H. Bredereck, F. Effenberger, G. Simchen, Chem. Ber. **1964**, 97, 1403
- [32] K. Hirota, Y. Kitade, H. Sajiki, Y. Maki, Synthesis **1984**, 589
- [33] N. M. Cherdantseva, V. M. Nesterov, T. S. Safonova, Khim. Geterotsikl. Soedin. **1983**, 834; Chem. Heterocycl. Comp. **1983**, 674; Chem. Abstr. **1983**, 99, 139895h
- [34] A. Sivaprasad, J. S. Sandhu, J. N. Barnah, Indian J. Chem., Sect. B **1985**, 24, 305
- [35] M. Vettel, Dissertation, Universität Stuttgart 1995
- [36] A. K. Shanaazarov, V. G. Granik, Khim. Geterosikl. Soedin. **1987**, 423; Chem. Heterocycl. Comp. **1987**, 359; Chem. Abstr. **1987**, 107, 217439u

## Korrespondenzanschrift:

Prof. Dr. W. Kantlehner

Universität Stuttgart

Institut für Organische Chemie und Isotopenforschung

Pfaffenwaldring 55

D-70569 Stuttgart